

1982

μ_2

Lommel 18560

1982

romer.,
kf. uet.
paaren

Carsky P., Hubac I., et al.;
Theor. chim. acta, 1982, 60,
N5, 445 - 450

H₂

Lommel 13720

1982

guccione-
arguel
npu
memph
ysare

Migo M., Kamata S.,
et al.,

Chem. Phys., 1982, 66,
N 3, 243-248.

H_2

отт. 13424

1982

6 Д47. Неэмпирическая кривая потенциальной энергии $J^1\Delta_g$ состояния молекулы водорода. Ab initio potential energy curve for the $J^1\Delta_g$ state of the hydrogen molecule. Kołos W., Rychlewski J. «J. Mol. Spectrosc.», 1982, 91, № 1, 128—136 (англ.)

м.н., л.

В приближении Борна—Оппенгеймера рассчитана кривая потенц. энергии $J^1\Delta_g$ -состояния молекулы H_2 . Используемая волн. ф-ция представлена линейной комбинацией 60 ф-ций Джеймса—Кулиджа в эллиптич. координатах. Параметры этих ф-ций находились оптимизацией при некоторых выбранных межъядерных расстояниях, для промеж. значений экспоненты ф-ций определялись интерполяцией. Рассчитанная кривая потенц. энергии использовалась затем для решения ур-ния Шредингера для колебательного движения в молекулах H_2 , D_2 и HD , что дало в результате уровни энергии и врацательные постоянные. Проводится сравнение с известными эксперим. данными. Отмечается,

Ф1982, 18, № 8 (2) D_2 , HD

что адиабатич. поправки в приближении Борна—Оппенгеймера являются в основном ответственными за существующее расхождение теоретич. и эксперим. результатов. Для молекулы HD найденное расхождение в колебательных энергиях оказалось больше величины, ожидаемой из возможных погрешностей теории. Поэтому предполагается, что $J^1\Delta_g$ состояние в эксперименте до HD было определено неправильно. А. А. Зембеков

Т 1
4 с

H_2

Омм. 13424

1982

12 Б63. Неэмпирическая потенциальная кривая $J'\Delta_g$ -состояния молекулы водорода. Kołos W., Rychlewski J. Ab initio potential energy curve for the $J'\Delta_g$ state of the hydrogen molecule. «J. Mol. Spectrosc.», 1982, 91, № 1, 128—136 (англ.)

Вариационным методом с 60-членной волновой ф-цией записанной в эллиптич. координатах, получена потенциальная кривая состояния $J'\Delta_g$ молекулы водорода в приближении Борна—Оппенгеймера. С ее помощью для молекул H_2 , HD и D_2 вычислены энергии диссоциации, колебательные уровни энергии и вращательные постоянные B_v для различных колебательных состояний. На основе расчетов сделан вывод о неправильном эксперим. определении колебательного кванта $\Delta G(1/2)$ состояния $J'\Delta_g$ молекулы HD . В. Б. Павлов-Веревкин

расчет
м.п;

72

HD , D_2

X. 1982, 19, N/2.

H₂ *Comm. 1342e* *1982*

96: 58115q Ab initio potential energy curve for the $J^1\Delta_g$ state of the hydrogen molecule. Kolos, W.; Rychlewski, J. (Dep. Chem., Univ. Warsaw, 02-093 Warsaw, Pol.). *J. Mol. Spectrosc.* 1982, 91(1), 128-36 (Eng). The Born-Oppenheimer potential energy curve for the $J^1\Delta_g$ state of H₂ was computed using highly flexible wave function in the form of a 60-term expansion in elliptic coordinates. The vibrational Schrödinger equation for the J state was solved for H₂, HD, and D₂. For H₂ the resulting energies are compared with the exptl. values and it is shown that the adiabatic effects are likely to be responsible for the main part of the existing discrepancy between theor. and exptl. values. For HD the disagreement is too great to be attributable to approxns. in the present work and therefore it is suggested that the J state of HD was incorrectly detd.

*ab initio
pacrem,
romesus.
Epubae*

C.A.1982, 96, n8

H_2

Om. 15068 1982

3 Д688. Лабораторные исследования УФ-спектров,
удара. Системы полос Вернера и Лаймана. Laboratory
studies of uv emissions of H_2 by electron impact. The
Werner- and Lyman-band systems. Ajello J. M.,
Srivastava S. K., Young Yuk L. «Phys. Rev.
A: Gen. Phys.», 1982, 25, № 5, 2485—2498 (англ.)

Измерены абс. сечения испускания лаймановских
 $(B^1\Sigma_u^+ \rightarrow X^1\Sigma_g^+)$ и вернеровских $(C^1\Pi_u \rightarrow X^1\Sigma_g^+)$ полос
 H_2 , возбуждаемых электронным ударом. Получены
ф-ции возбуждения состояний $B^1\Sigma_u^+$ и $C^1\Pi_u$ в области
энергий электронов от порога возбуждения до 400 эВ.
Установлено, что при $E=20$ и 100 эВ вклад каскадных
переходов в возбужденные состояния B равен соответ-
ственно $51 \pm 20\%$ и $24 \pm 10\%$. Сечения испускания из-
лучения $(B \rightarrow X)$ и $(C \rightarrow X)$, соответствующие прямому
возбуждению состояний B и C , при $E=100$ эВ равны
соответственно $2,7 \cdot 10^{-17}$ и $3,1 \cdot 10^{-17}$ см 2 . Каскадный
механизм возбуждения состояния C при $E=100$ эВ не
играет заметной роли. Библ. 35.

А. В. Н.

ср. 1983, 18, № 3

H_2 October 15068 1982

197: 30649p Laboratory studies of UV emissions of molecular hydrogen by electron impact. The Werner- and Lyman-band systems. Ajello, J. M.; Srivastava, S. K.; Yung, Yuk L. (Jet Propul. Lab., California Inst. Technol., Pasadena, CA 91109 USA). *Phys. Rev. A* 1982, 25(5), 2485-98 (Eng). A lab. measurement is reported of abs. emission cross sections of both the Lyman bands ($B^1\Sigma_u^+ \rightarrow X^1\Sigma_g^+$) and Werner bands ($C^1\Pi_u \rightarrow X^1\Pi_g^+$) of H_2 by electron impact over the energy range from threshold to 400 eV with the same optical system. The emission cross section for the $B^1\Sigma_u^+ \rightarrow X^1\Sigma_g^+$ transition at 100 eV is $(3.55 \pm 0.8) \times 10^{-17} \text{ cm}^2$ ($2.7 \times 10^{-17} \text{ cm}^2$, direct excitation, $0.85 \times 10^{-17} \text{ cm}^2$, cascading) and the emission cross section for the $C^1\Pi_u \rightarrow X^1\Sigma_g^+$ transition at 100 eV is $(3.1 \pm 0.6) \times 10^{-17} \text{ cm}^2$ (cascading is estd. to be not present). The cross-section ratio Q_c/Q_B for direct excitation is 1.21 ± 0.30 at 300 eV in excellent agreement with published values for this ratio from theor. calcns. and exptl. data of the optical oscillator strengths. The cross section for cascading to the B state is $24 \pm 10\%$ of the total emission cross section both at 100 and 300 eV. Cascading increases to $51 \pm 20\%$ of the total cross section of the B state at 20 eV. The vibrational population distribution of the B state is a function of electron-impact energy as the importance of cascading relative to direct excitation changes with electron-impact energy.

C. A. 1982,
97, 114

H₂

(Ommeck 14200)

1982

M.H.
Xueri
CB336

Arcocca R., Roberson E.A.,
J. Phys. Chem. 1982, 86,
N^o 6, 894-899.

H₂(k)

1982

96: 132464w Infrared spectrum of hydrogen in the condensed phase with high-sensitivity spectrometers: experiments with a 0.04 cm⁻¹ Fourier transform spectrometer in the range 1.5-12 μ m. Balasubramanian, T. K.; Lien, Chen Hsin; Gaines, James R.; Rao, K. Narahari; Damon, E. K.; Nordstrom, R. J. (Dep. Phys., Ohio State Univ., Columbus, OH 43210 USA). *J. Mol. Spectrosc.* 1982, 92(1), 77-84 (Eng). The IR spectrum of solid and liq. H₂ was recorded by using a Fourier spectrometer. The pure rotational *U* transitions, *U*₀(0) in solid para-H₂ and *U*₀(1) in solid normal H₂, with the accompanying phonon branches were obsd. for the 1st time. In addn., the rotational double transitions *S*₀(0) + *S*₀(1) and *S*₀(1) + *S*₀(1) were identified. The identifications of these transitions are based on positions calcd. by making use of gas phase mol. consts. In the liq., the double transitions were preserved, but the single transitions *U*₀(0) and *U*₀(1) are entirely absent. The region of *Q*₁₋₀(*J*) reveals structure which has not been reported before. Its interpretation is presented.

UK crekip

c. A. 1982, 96, n16

$H_2(k)$

1982

17 Б194. Инфракрасный спектр водорода в конденсированной фазе, полученный на высокочувствительных спектрометрах. Эксперименты с Fourier-спектрометром в области 1,5—12 мкм при разрешении $0,04 \text{ см}^{-1}$. Balasubramanian T. K., Lien Chen-Hsin, Gaines James R., Nagahari Rao K., Damon E. K., Nordstrom R. J. Infrared spectrum of hydrogen in the condensed phase with high-sensitivity spectrometers. Experiments with a $0,04\text{-cm}^{-1}$ Fourier

ИК спектр

X. 1982, 19, N 17

transform spectrometer in the range 1,5—12 μm . «J. Mol. Spectrosc.», 1982, 92, № 1, 77—84 (англ.)

Изучены с разрешением $0,04 \text{ см}^{-1}$ ИК-спектры поглощения (область $1,88—11,1 \text{ мкм}$, $5300—900 \text{ см}^{-1}$) обычного водорода (**I**) в тв. и жидк. состоянии, а также спектр пара-водорода (**II**) в тв. состоянии. Проведен анализ тонкой структуры полосы $Q_{1-0}(I)$ I $\sim 4150 \text{ см}^{-1}$. В спектре тв. I проявляются $U_0(1)$ — переходы ($\Delta I=4$) с частотами $\sim 1619, 1663 \text{ см}^{-1}$, а в спектре II $U_0(0)$ — переходы с частотами ~ 1167 и 1208 см^{-1} , кроме того, для I впервые наблюдали двойные ($\Delta I=2$) $S_0(0) \pm S_0(1)$ - и $S_0(1)+S_0(1)$ -переходы с частотами ~ 940 и 1173 см^{-1} , а в спектре II — $S_0(0) + S_0(1)$ переходы с частотой $\sim 940 \text{ см}^{-1}$. В спектре жидк. I найдены только двойные переходы. А. В. Б.

H_2

[Omnick 14270]

1982

Banerjee A., Mukherjee,
et al.,

I.P.

Ae, Hergue
bezyns.

J. Chem. Phys., 1982,
76, NY, 1995-2002

H_2

1982

1 Д101. Применение многоконфигурационной теории связанных кластеров. Applications of multiconfigurational coupled-cluster theory. Banerjee Ajit, Simons Jack. «J. Chem. Phys.», 1982, 76, № 9, 4548—4559 (англ.)

Описан формализм теории связанных кластеров для случая многоконфигурац. ф-ций начального приближения. Рассмотрен ряд примеров, в которых необходимо использовать предложенную методику. Разработанная схема использована для расчета энергий систем $H_2(^1\Sigma_g)$, $Li(^2S)$, $HeH_2(^1A_1)$ и $CH_2(^3B_1; ^1A_1)$. Полученные результаты сравнены с «точными», известными из расчетов, проведенных с полным учетом конфигурац. взаимодей-

расчет
нейтр.

($^1\Sigma_g$)

(+3) 17

90. 1983, 18, N 1

ствия. Сравнение показывает, что в методе связанных кластеров можно достигнуть быстрой сходимости разложения при условии правильного выбора многоконфигурац. ф-ции начального приближения. В частности, для рассчитанных молекул оказалось достаточным ограничиться двойными коммутаторами в разложении $e^{-t\hat{H}et}$ и вторым порядком в разложении кластерного оператора T .

А. И. Дементьев

H_2

отмск 14054 1982

8 Д138. Расчет молекул методом плавающих сферических гауссовых функций. I. Малые молекулы и ионы.
Борисов Ю. А., Мусаев Д. Г. «Ж. структур. химии», 1982, 23, № 1, 10—15

Метод плавающих сферических гауссовых ф-ций Фроста использован для расчета полных энергий и межъядерных расстояний следующих молекулярных систем:
 H_2 , LiH , Li_2 , H_3^+ , Li_3^+ , BH_3 , CO , N_2 , Be_2 , Be_4 и H_4 .

расчет
молекул
жестких
и
мягких
расстоян. но \otimes

оф. 1982, 18, № 8.

H_2

Оттиск 14054 1982

16 Б13. Расчет молекул методом плавающих сферических гауссовых функций. I. Малые молекулы и ионы. Борисов Ю. А., Мусаев Д. Г. «Ж. структур. химии», 1982, 23, № 1, 10—15

Метод плавающих сферич. гауссовых ф-ций Фроста использован для расчета полных энергий и межъядерных расстояний молекул H_2 , LiH , Li_2 , H_3^+ , Li_3^+ , BF_3 , CO , N_2 , Be_2 , Be_4 и H_4 . Результаты расчетов сравнены с экспериментом и расчетами более точными методами. Для Be_2 рассчитан отталкивательный Пт, к-рый сопоставлен с результатами расчета более точным методом. На основании расчетов H_2 и H_4 (и форме квадрата) определена энергия активации изотопного обмена водорода, равная 202 ккал/моль. Описана вычислительная программа.

Резюме

\textcircled{X}
 \textcircled{HO}

X. 1982, 19, N 16.

H_2

1982

Borisov Yu. A.

Meopem.
paerem
Энергия

Chem. Phys. Lett.,
1982, 93, N 2, 197 -
- 200.

($\text{C}_{\text{H}} \cdot H^-$; H_2)

1982

98: 24/84h Atomic fine structure in a space of constant curvature. Bessis, N.; Bessis, G.; Shamseddine, R. (Lab. Spectrosc. Theor., Univ. Claude Bernard, 69622 Villeurbanne, Fr.). *J. Phys. A: Math. Gen.* 1982, 15(10), 3131-44 (Eng). As a contribution to a tentative formulation of at. physics in a curved space, the detn. of at. fine-structure energies in a space of const. curvature is investigated. Starting from the Dirac equation in a curved space-time, the analog of the Pauli equation in a general coordinate system is derived. When particularizing these results to the model of a spherical 3-space with a Coulombic field, the curved form of the 1-electron fine-structure Hamiltonian is obtained, i.e. the curved form of the Lande spin-orbit interaction and of the relativistic correction of the kinetic energy and some addnl. terms which vanish at the traditional flat limit. The theor. curvature-induced shifts and splittings of the fine-structure energy levels are exmd. for the particular case of the hydrogenic $n = 2$ levels.

Chekmp

C. A. 1983, 98, N4.

H₂

1982

*gantkuei
UK cream*

J 98: 116089p Far infrared spectra of molecular hydrogen and mixtures of molecular hydrogen-methane and molecular hydrogen-helium. Birnbaum, George (Natl. Bureau Standards, Washington, DC 20234 USA). *NASA Conf. Publ.* 1980 (Pub. 1982). NASA-P-2223, Vibr.-Rotational Spectrosc. Planet. Atmos., N82 26135-N82 26151, 449-71 (Eng). Lab. measurements are reported of the far-IR absorption of H₂ and of mixts. of H₂ with CH₄ and He, and fits to the pure H₂ spectra with a semi-empirical line shape are described. Such results are needed in analyzing the thermal emission from the atms. of the outer planets. The spectra discussed are forbidden in the isolated mol. They occur in groups of mols. due to dipoles induced in colliding mols. by their elec. fields. At the relatively low densities of interest, where biomol. collisions predominate, the absorption coeff. ($\alpha(v)/cm^{-1}$) is proportional to the d. squared at every frequency throughout the band. This is because the line shape, which is controlled by the duration of collision, is independent of the d. Because the time of collision is so small, the line widths encountered in collision-induced absorption are large and, except for H₂ where the rotational const. is unusually great, 'unresolved' rotational bands of overlapping lines are obsd.

C.A. 1983, 98, n14

H₂

1982

97: 171722u Lowest Rydberg state of molecular hydrogen in a neon matrix. Boehmer, W.; Haensel, R.; Schwentner, N.; Boursey, E.; Chergui, M. (Inst. Experimentalphys., Univ. Kiel, Kiel, Fed. Rep. Ger.). *Chem. Phys. Lett.* 1982, 91(1), 66-8 (Eng). The absorption spectrum of H₂ mols. in a Ne matrix at 11-12.2 eV due the vibrational levels $v' = 0, \dots, 7$ of the $B^1\Sigma_u^+ - X^1\Sigma_g^+$ Rydberg transition is reported.

Излучение

Регистр. со с-
модн. в Ne

излучение

C.A. 1982, 97, N 20.

H₂

1982

2 Д488. Низшее ридберговское состояние H₂ в Ne-матрице. Lowest Rydberg state of H₂ in a Ne matrix.
Böhmer W., Haensel R., Schwentner N., Boursey E., Chergui M. «Chem. Phys. Lett.», 1982,
91, № 1, 66—68 (англ.)

M. A.

Спектр поглощения молекулы H₂ в Ne-матрице исследован с разрешением $\sim 1,5 \text{ \AA}$ в области $11-12,2 \text{ эВ}$. В спектре идентифицированы колебательные полосы $v'=0-7$ низшего ридберговского перехода $B^1\Sigma_u^+ - X^1\Sigma_g^+$ молекулы H₂. Проанализированы особенности взаимодействия H₂($B^1\Sigma_u^+$) с веществом матрицы. Библ. 23.

90. 1983, 18, № 2

H_2

1982

4 Б189. Самое низкое ридберговское состояние H_2 в Не-матрице. Lowest rydberg state of H_2 in a Ne-matrix. Böhmer W., Haensel R., Schwentner N., Boursey E., Chergui M. «Chem. Phys. Lett.», 1982, 91, № 1, 66—68 (англ.)

Измерен вакуумный УФ-спектр поглощения молекул водорода изолированного в неоновой матрице ($T = 5 \pm 1$ К, подложка LiF, $M/R = 1 : 200$). В области 11—12,2 эВ наблюдалась группа полос с полушириной 125 ± 10 мэв, интерпретированная как прогрессия по $v' = 0—7$ самого низкого по энергии ридберговского перехода $B^1\Sigma_u^+ - X^1\Sigma_g^+$. По сравнению со спектром газообразного водорода полосы с $v' \leq 6$ незначительно сдвинуты в область больших энергий, а величина колебательного интервала (Δv) меняется в прогрессии от 0,15 до 0,13 эВ, что несколько меньше, чем для газовой фазы (для газ. H_2 Δv меняется от 0,163 до 0,138 эВ).

В. М. Ковба

Ридберговское
состояние

X. 1983, 19, N 4

μ_2

1982

11 Д106. Предиссоциация H_2 в состоянии $D^1\Pi_u$ вблизи порога. Predissociation of the $D^1\Pi_u$ state of H_2 near threshold. Borondo F., Eguiagay L. R., Riera A. «J. Phys. B: Atom. and Mol. Phys», 1982, 15, № 6, 899—908 (англ.)

Для процесса предиссоциации молекулы H_2 в состоянии $D^1\Pi_u$ проведен квантовомеханич. расчет отношения ветвления, $\Omega = \frac{\sigma(2s)}{\sigma(2s) + \sigma(2p)}$, показывающего относит. выход $H(2s)$ и $H(2p)$. Волн. ф-ции и энергии H_2 в состояниях $|\psi_1\rangle (B^1\Sigma_u^+)$, $|\psi_2\rangle (B'^1\Sigma_u^+)$ и $|\psi_3\rangle (B''B^1\Sigma_u^+)$ рассчитывались методом полного конфигурац. взаимодействия в базисе ГФ ($6s3p$) для межъядерных расстояний (R) в районе от 3 до

предиссоциации
для H_2 в
состоянии
 $D^1\Pi_u$;

Ф. 1982, 18, N 11

20 ат. ед. Полученные ф-ции использовались далее для расчета матричных элементов $\langle \psi_i | d/dR | \psi_j \rangle$ и $\langle \psi_i | d^2/dR^2 | \psi_j \rangle$, необходимых для решения динамич. задачи. Найденное в результате расчета значение $\Omega = 0,7$ показывает, что использованное ранее для оценки Ω приближение Ландау—Зинера не приемлемо.

А. И. Дементьев

H_2

1982

197: 44672c Predissociation of the D $^1\Pi_u$ state of hydrogen near threshold. Borondo, F.; Eguiagaray, L. R.; Riera, A. (Dep. Quim. Fis. Quim. Cuantica, Univ. Auton. Madrid, Madrid, Spain). *J. Phys. B* 1982, 15(6), 899-908 (Eng). A rigorous quantum-mech. treatment of the predissocn. of the D $^1\Pi_u$ state of H₂ near threshold gave a branching ratio of 0.70. The results show that the calcns. of I. V. Komarov and V. N. Ostrovsky (1979) are based on invalid dynamical assumptions and that the correctness of a calcn. cannot be inferred from the accuracy of a single phys. quantity.

Megucco-
Blasone

$D^1\Pi_u$

C.A. 1982, 97, w6

H₂

[Omnuck 16063]

1982

Bragg S.-L., Brault
et al.,
Astrophys. J., 1982,
263, N2, Pt. 1, 999-
1004

H_2

1982

96: 151751d An experimental study of the vibrational-rotational spectrum of molecular hydrogen. Bragg, Susan Lynn (Washington Univ., St. Louis, MO USA). 1981. 118 pp. (Eng). Avail. Univ. Microfilms Int., Order No. 8201729. From Diss. Abstr. Int. B 1982, 42(8), 3315.

neoprenur
pacrem
crekmpa

c.A. 1982, 96, N18

$H_2 (k, \omega)$

1982

197: 190579u Far infrared absorption spectra in liquid and solid molecular hydrogen. Buontempo, U.; Cunsolo, S.; Dore, P.; Nencini, L. (Ist. Fis. "G. Marconi", Univ. Roma, Rome, Italy). *Can. J. Phys.* 1982, 60(10), 1422-8 (Eng). The far-IR absorption spectra of H₂ were measured in solid and liq. phases in the frequency range 300-800 cm⁻¹. A remarkable similarity between the liq. and solid spectra exists. In the solid phase, measurements were performed at different ortho-H₂ conens., in order to investigate the influence of ortho-H₂ mols. In particular, the behavior of the S(0) line at low ortho-H₂ conens. was studied.

lik checkmfr

C.A. 1982, 97, w22

1982

H₂

2 Д446. Длинноволновые спектры ИК-поглощения жидкого и кристаллического H₂. Far infrared absorption spectra in liquid and solid H₂. Buontempo U., Cunsolo S., Dore P., Nencini L. «Can. J. Phys.», 1982, 60, № 10, 1422—1428 (англ.; рез. фр.)

Получены спектры ИК-поглощения жидкого при 18 К и кристаллического при 1,6 К водорода в области 300—800 см⁻¹ при различных конц-иях орто-пара водорода. В спектре нормального водорода наблюдены линии S(1) и S(0) при частотах соответствующих линий комб. рас. и их высокочастотные фононные спутники. В спектре кристаллич. параводорода ширина линии S(0) становится <0,1 см⁻¹, в жидкой фазе эта линия исчезает. Оставшаяся широкая полоса аналогична фононному спектру кристалла. При интерпретации спектров жидкости и кристалла использованы представления делокализации вращательного возбуждения. Расчет показывает, что ширина линии S(0) возрастает при увеличении конц-ии ортоводорода C_0 по закону $C_0^{2/3}$, опытные данные подтверждают эту закономерность. Библ. 14.

М. В. Т.

спектр

90.1983, 18,
N 2

H_2

1982

5 Б289. Спектры поглощения жидкого и твердого H_2 в длинноволновой инфракрасной области. Far infrared absorption spectra in liquid and solid H_2 . Ви оптимо U., Cunsolo S., Dore P., Nencini L. «Can. J. Phys.», 1982, 60, № 10, 1422—1428 (англ.)

На интерференционном спектрометре типа Майкельсона измерены в области частот 300—800 см⁻¹ ИК-спектры поглощения молек. водорода, H_2 , в жидкой и тв. фазах. Измерены спектры низкого разрешения (5 см⁻¹) пара- H_2 и нормального H_2 . Проанализирована структура спектра в области экситонной линии и фононной ветви в тв. пара- H_2 и проведено сравнение спектров в жидкой и тв. фазах. Установлено, что роль вращательных экситонов в процессах поглощения сходна как в жидкой, так и в тв. фазах. Однако спектральное разрешение 5 см⁻¹ оказывается недостаточным для получения детальной информации об экситонной линии. Измерения с высоким разрешением (0,1 см⁻¹) выполнены для линий $S(0)$ и $S(1)$ тв. пара- H_2 при конц-иях

X. 1983, 19, NS.

орт- H_2 3 и 10%. Изменение конц-ии орто- H_2 оказывает сильное влияние на интенсивность и полуширину линии $S(0)$ и практически не влияет на полуширину линии $S(1)$. Полученные результаты хорошо описываются теор. моделью с использованием лоренцевского контура линии, асимметризованного в соответствии с принципом детального равновесия.

С. Н. Мурзин

форм:

H_2

Om. 1153 1982

6 Д81. Многоконфигурационный метод самосогласованного поля (МК ССП) для возбужденных состояний. Multiconfiguration-self-consistent field (MC—SCF) method for excited states. Colle Renato, Salvetti Ограпо. «Mol. Phys.», 1982, 47, № 4, 959—972 (англ.)

Предложен метод расчета различных возбужденных состояний одного типа симметрии в многоконфигурац. приближении ССП (МК ССП). Волн. ф-ции возбужденных состояний оптимизируются независимо при учете дополнительных условий ортогональности к низшим состояниям той же симметрии. Учет дополнительных условий проводится при построении обобщенного оператора Фока, в результате чего схема расчета возбужденных состояний для модифицированного оператора Фока совпадает со схемой расчета основного состояния. Метод проиллюстрирован на примере расчета трех низших состояний типа ${}^1\Sigma_u^+$ для молекулы водорода.

Е. А. Ж.

90. 1983, 18, № 6

H_2

Om. 16153

1982

16 Б9. Многоконфигурационный метод самосогласованного поля (МК ССП) для возбужденных состояний. Multiconfiguration-self-consistent field (MC—SCF) method for excited states. Colle Renato, Salvetti Ogiano. «Mol. Phys.», 1982, 47, № 4, 959—972 (англ.)

Предложен способ расчета возбужденных состояний молекул в рамках метода МК ССП. Коэф. перед конфигурациями и орбитали волновых ф-ций возбужденных состояний оптимизируются отдельно для каждого состояния с учетом ортогональности по отношению к нижележащим состояниям той же симметрии. Условие ортогональности учитывается при построении обобщенного оператора Фока. При использовании этого модифицированного оператора вычислительная схема остается в остальном такой же, как и для основного состояния. Для определения самосогласованных орбиталей использован модифицированный метод парных вращений, при к-ром параметры вращений определяют-

расчет
поменз.
Кличих,
 $1\Sigma^+$

X. 1983, 19, N16

ся при минимизации функционала энергии методом наискорейшего спуска, а тригонометрич. ф-ции заменяются их тейлоровским разл. с учетом членов до 2-го порядка. Отмечено, что время, необходимое для оптимизации орбиталей, имеет тот же порядок величины, что и для обычного метода ССП. Предложенный метод использован для расчета потенциальных кривых трех низших состояний молекулы H_2 симметрии $^1\Sigma_u^+$.

А. А. Сафонов

H_2

1982

Om. 8453

198: 95818h Multiconfiguration-self-consistent field (MC-SCF) method for excited states. Colle, Renato; Salvetti, Oriano (Sc. Norm. Super., 56100 Pisa, Italy). *Mol. Phys.* 1982, 47(4), 959-72 (Eng). A method was derived to calc. the MC-SCF wave functions for the various excited states of a given symmetry. The appropriate orthonormality constraints were taken into account in the construction of the generalized Fock operators. A simplification of the two by two rotation method was suggested for deriving the SCF orbitals. The method was applied to the calcn. of the wave functions for the 1st 3 states of H_2 with ${}^1\Sigma_u^+$ symmetry.

(fojs. vcm)

mearem
pacem

C.A. 1983, 98, N12.

H_2

1982

1Д119. Карты плотности распределения импульсов в молекулах. Momentum density maps for molecules. Cook J. P. D., Vgion C. E. «Moment Wave Funct. 2 Meet., Adelaide, 18—24 Febr., 1982». New York, 1982, 278—296 (англ.)

На примере молекул H_2 , N_2 и CO проведено сравнение карт распределения электронной плотности в координатном и импульсном представлениях с усредненным импульсным распределением, экспериментально измеряемым с помощью неупругого рассеяния электронов (e , $2e$) на молекулах. Обсуждены различия во вкладах от отдельных МО.

Е. А. Ж.

Карты
плотности
распределения
импульсов

(42)

гр. 1983, 18, №1

H_2

Октябрь 14910 1982

наимен E :

З Б37. Эффекты квазивырождения и эффективность расчетов молекулярных свойств методами МТВ. Кривая поляризуемости H_2 . Near-degeneracy effects and efficiency of MBPT calculations of molecular properties. Polarizability curve of H_2 . Diercksen Geerd H. F., Jaszunski Michał, Sadlej Andrzej J. «Chem. Phys.», 1982, 71, № 1, 105—115 (англ.)

Методами многочастичной теории возмущений (МТВ) рассчитаны энергии и компоненты поляризуемости молекулы H_2 в области межъядерных расстояний R от 1 до 6 ат. ед. Использовано приближение конечного электростатич. поля напряженности 0,005 ат. ед. Компоненты поляризуемости вдоль и перпендикулярно межъядерной оси получены численным дифференцированием наведенного дипольного момента. Вычисления выполнены в базисе ОГТ типа $(10s4p)/[6s4p]$. По отношению к одноконфигурац. волновой функции нулевого приближения, выбранной как решение хартрифоковской задачи, по МТВ учитывались поправки 2-, 3- и 4-го порядков с волновыми функциями, включаю-

Х. 1983, 19,
11.3

щими одно- и двукратные возбуждения. Результаты сопоставлены с данными расчетов методом конфигурац. взаимодействия с учетом одно- и двукратных возбуждений, с результатами многоконфигурац. метода ССII и с эксперим. данными. Найдено, что в окрестности равновесного межъядерного расстояния $R \sim 1,4$ ат. ед. результаты, полученные в 4-м порядке МТВ, близки к точным значениям как для энергии, так и для поляризуемостей. Однако при $R \geq 3,6$ ат. ед. становятся существенными эффекты квазивырождения, к-рые не могут быть учтены с одноконфигурац. волновой функцией нулевого приближения.

А. В. Немухин

Б. I

1982

H₂

З Д1549. Корректирующие факторы в интенсивности комбинационного рассеяния, связанные с колебательной ангармоничностью. Их влияние на температурные измерения. Rotational Raman intensity-correction factors due to vibrational anharmonicity: their effect on temperature measurements. Drake Michael C. «Opt. Lett.», 1982, 7, № 9, 440—441 (англ.)

Показано, что в спектре когерентного антистоксовского комб. рас. относительная интенсивность двух колебательно-вращательных линий с одинаковыми номерами, но относящихся к разным колебательным переходам, определяется не только отношением заселеностей соответствующих уровней вследствие зависимости матричного элемента анизотропии поляризуемости от колебательного квантового числа. Пренебрежение этим эффектом приводит к значительным ошибкам при определении т-ры по относит. интенсивностям линий. Рассчитаны необходимые поправки для колебательных уровней $v=1,2$ молекул H₂, N₂, O₂ и CO. Библ. 14.

(73)

ср. 1983, 18, № 3

— M. R. T

H₂ 1982

recno 89A-
Raman. Chichester

! 99: 130657z The pure rotation and vibration-rotation Raman spectra of isotopically substituted species of hydrogen. Edwards, H. G. M.; Farwell, D. W.; Gorvin, A. C.; Long, D. A. (Sch. Chem., Univ. Bradford, Bradford/W. Yorkshire, UK BD7 1DP). *Raman Spectrosc., Proc. Int. Conf., 8th 1982*, 287-8 (Eng). Edited by Lascombe, Jean; Huong, Pham V. Wiley: Chichester, UK. The observation and anal. are reported of the S-branch and Q-branch Raman spectra of H₂, HD, and D₂. The accuracy obtained is higher than previously obtained. The std. deviation of the rotational and vibration-rotational consts. are smaller than previously reported. The bond lengths for the various isotopic mols. are given.

~~H₂~~ (H₂) HD, D₂
c.A.1983, 99, n16

H_2

1982

3 Д597. Вращательные и колебательно-вращательные спектры комбинационного рассеяния изотопически замещенных молекул водорода. The pure rotation and vibration-rotation Raman spectra of isotopically-substituted species of hydrogen. Edwards H. G. M., Fagwell D. W., Gorvin A. C., Long D. A. «Raman Spectrosc.: Linear and Nonlinear. Proc. 8 Int. Conf., Bordeaux, 6—11 Sept., 1982». Chichester e. a., 1982, 287—288 (англ.)

Получены вращательный (ветвь S_0) и колебательно-вращательный (ветвь Q_1) спектры молекул H_2 , HD и D_2 в газовой фазе с разрешением $0,15 \text{ см}^{-1}$. С точностью $0,004 \text{ см}^{-1}$ определены частоты линий. Из расстояний между линиями определены константы центробежного растяжения D_0 и H_0 и колебательно-вращательного взаимодействия α и β . Вычислены межъядерные расстояния r_0 и r_1 . С использованием полученных ранее данных для изотопич. молекул, содержащих тритий, рассчитано среднее равновесное межъядерное расстояние в молекуле водорода $r_e = 0,74151 \text{ \AA}$.

М. В. Т.

90. 1983, 18, N 3

H_2

1982

5 Б231. Чисто вращательный и колебательно-вращательный спектры комбинационного рассеяния света изотопных молекул водорода. The pure rotation and vibration-rotation Raman spectra of isotopically-substituted species of hydrogen. Edwards H. G. M., Fagwell D. W., Gorvin A. C., Long D. A. «Raman Spectrosc.: Linear and Nonlinear. Proc. 8th Int. Conf., Bordeaux, 6—11 Sept., 1982». Chichester c. a., 1982, 287—288 (англ.)

На дифракционном спектре с фотографич. регистрацией с использованием Ag^+ -лазера измерены вблизи длины волны 488,0 нм чисто вращательный (S -ветвь) и в области 612,5—517,7 нм колебательно-вращательный (Q -ветвь колебательного перехода $v=1 \leftarrow v=0$) спектры КР 1H_2 , $^1H^2H$ и 2H_2 . Точность определения частот переходов составляла около $0,004\text{ см}^{-1}$. Анализ спектров выполнен с учетом центробежного искажения и колебательно-вращательного взаимодействия. С учетом данных

дл. вол., спектр,
 1H_2

X. 1983, 19, N5

для $^2\text{H}^3\text{H}$, $^1\text{H}^3\text{H}$ и $^3\text{H}_2$ определено взвешенное среднее
межъядерное расстояние $r_e = 74,151$ (1) пм.

С. Н. Мурзин



μ_2 Lommel 16011 1982

Лозерман
Чекинп Eng R.S., Kee R.T.,
Spectrosc. Lett., 1982,
15, N 10-11, 803-929.

H_2

1982

18 Б7. Обычные теоретико-полевые методы для волновых функций метода ССП, описывающих образование связей и их диссоциацию. II. Случай коммутативной связи. Ordinary field-theoretic methods for self-consistent wave functions which describe bond formation and dissociation. II. Commutative coupling case. England Walter B. «Int. J. Quantum Chem.», 1983, 23, № 3: Proc. 4th Int. Congr. Quantum Chem., Uppsala, 13—20, June, 1982. Contrib. Pap., Pt 3, 905—914 (англ.)

Для учета корреляции электронов в молек. расчетах предложено использовать теорию Хартри — Боголюбова — Валатина с гамильтонианом Липкина. Получаемые при этом волновые функции типа Бардина — Купера — Шриффера используются как вакуумные для диаграммной теории возмущений Фейнмана — Дайсона — Годстуна в представлении Намбу. Обсуждена связь разрабатываемого подхода с многоконфигурац. методом ССП и

расчет
потенци.
криевых

(H2)

X. 1983, 19, N 18

F_2

обобщенным методом валентных связей. Рассмотрено приближение коммутативной связи, когда введено требование коммутации (в представлении вторичного квантования) операторов самосогласованной энергии и самосогласованного парного потенциала. На примере расчета потенциальных кривых основного состояния молекул H_2 и F_2 обсуждена точность рассмотренного приближения.

В. Б. Павлов-Веревкин



H₂

1982

98: 43441k Spectroscopy and lifetime measurements of some
N = 3 and N = 4 levels of molecular hydrogen. Eyler, Edward
Eugene (Harvard Univ., Cambridge, MA USA). 1982. 313 pp.
(Eng). Avail. Univ. Microfilms Int., Order No. DA8222620. From
Diss. Abstr. Int. B 1982, 43(5), 1526.

fmn;

C. A. 1983, 98, N6.

H₂ *Om. 15947, a'' 1982*

5 Д379. Наблюдение состояния $4s^3\Sigma_g^+$ H₂. Observation of the $4s^3\Sigma_g^+$ state of H₂. Еуле^г Е. Е., Рипкин F. M. «J. Chem. Phys.», 1982, № 11, 5315—5318 (англ.)

Излучением в диапазоне 4200÷4600 Å от перестраиваемого одномодового лазера на красителе осуществлено возбуждение 14 переходов из метастабильного состояния $C(2p)^3\Pi_u$ молекул H₂ в более высокий ранее неизвестный электронный терм. В области 1800 Å измерен спектр люминесценции с этого терма и найдено, что радиационно распадаются колебат. уровни 1 и 2, а с более высоких колебат. уровней происходит предиссоциация с характерным временем $5,4 \cdot 10^{-10}$ с. Из анализа спектров поглощения и люминесценции определены спектроскопич. постоянные терма: $\omega_e = 2356 \pm 4$ см⁻¹, $\omega_{ex_e} = 66 \pm 2$ см⁻¹. По мнению авторов, этим термом является триплетное состояние $4s^3\Sigma_g^+$. Б. Ф. Гордиец

90, 1983, 18, N 5

H_2

Om. 15947, "a" 1982

97: 22627Sm Observation of the $4s^3\Sigma_g^+$ state of diatomic hydrogen. Eyler, E. E.; Pipkin, F. M. (Lyman Lab. Phys., Harvard Univ., Cambridge, MA 02138 USA). *J. Chem. Phys.* 1982, 77(11), 5315-18 (Eng). A blue continuous wave dye laser was used to excite 14 transitions from the metastable $c(2p)^3\Pi_u$ state to a previously unknown electronic state of H_2 , believed to be the $(4s)^3\Pi_g^+$ state. The obsd. transitions are all Q branches and are diagonal in vibrational quantum no. Levels with $v = 0$ and $v = 1$ are detected by their radiative decay, but all of the $v = 2$ levels are predissociative with lifetimes on the order of 500 ps. Approx. mol. consts. were derived from the spectra and are similar to those of the H mol. ion. The effective quantum no. is $n^* = 3.97$, in agreement with the quantum defect found for lower triplet s states.

$4s^3\Sigma_g^+$

c.A.1982, 97, 1126

H_2

Om. 15947,9^l 1982

19 Б164. Наблюдение состояния $4s^3\Sigma_g^+$ -H₂. Observation of the $4s^3\Sigma_g^+$ state of H₂. Еулер Е. Е., Рипкин Ф. М. «J. Chem. Phys.», 1982, 77, № 11, 5315—5318 (англ.)

С помощью перестраиваемого лазера (420—460 нм) с разрешением 10—100 МГц измерены спектры возбуждения молекул H₂ из метастабильного состояния $c(2p)^3\Pi_u$. Возбуждение в состояние $c^3\Pi_u$ осуществлялось бомбардировкой электронами низкой энергии коллинированного молек. пучка H₂. Наблюдено 14 переходов, являющимися Q-ветвями с $v'=v''$ и выполнено их отнесение. Показано, что возбужденное состояние для наблюдаемых переходов является состоянием $4s^2\Sigma_g^+$ -H₂. На основании колебательного и вращательного анализа новой системы рассчитаны молек. постоянные для состояния 4s: $\omega_e=2356\pm 4$, $\omega_e x_e=66\pm 2$, $B_e=29,6\pm 0,6$, $a_e=1,8\pm 0,4$ см⁻¹. Полученные значения хорошо согласуются с данными для молек. иона H₂⁺. Обнару-

и.п.

X. 1983, 19, N 9

жена предиссоциация уровней с $v=2$ верхнего состояния, обсужден ее механизм и предложена соотв. схема расположения потенциальных кривых. На основании сравнения расчетного положения уровня $v=0, N=0$ с основным состоянием H_2^+ рассчитано эффективное главное квантовое число $n^*=3,97$. Отмечено, что рассчитанный квантовый дефект (0,03) так же мал, как и для низших триплетных s -состояний ($n=2,3$) H_2 .

С. Б. Осин

H_2

1982

Ghodgaonkar A.M.,
Ramanik K.

Pacréen
 $\text{D}_0;$

Acta Phys. pol., 1982,
A 61, N 1-2, 151-154.

(cer. O_2^+ ; $\underline{\text{III}}$)

μ_2

1982

11 Д65. Расчеты двухатомных молекул методом ПДДП в расширенном базисе. Extended basis NDDO calculations on diatomic molecules. Gleghorn John Tyler, McConkey Frederick William. «Theor. chim. acta», 1982, 61, № 3, 283—293 (англ.)

На примере расчета потенц. кривых и спектроскопич. постоянных молекул H_2 , Be_2 , C_2 , OH^- , N_2 , BN , F_2 , LiH , CH^+ , NF , CN^- , CO , BF и LiF исследована корректность метода ПДДП (пренебрежение двухатомным диффер. перекрыванием) при расширении базисной системы АО. Полученные данные указывают, что расширение базиса в приближении ПДДП не уменьшает, а в ряде случаев увеличивает погрешность расчета. А. И. Дементьев

(13)

оп. 1982, 18, и/и

H_2

1982

5 Д112. Двукратно возбужденные автоионизационные состояния H_2 . The doubly excited autoionizing states of H_2 . Guberman Steven L. «Int. J. Quantum Chem.», 1982, Quantum Chem. Symp. № 16: Proc. Int. Symp. Quantum Chem., Theory Condens. Matter, and Propag. Meth. Quantum Theory Matter, Flagler Beach, Fla, March 1—3, 7—13, 1982, 668 (англ.)

ноткиз.
хилье

Рассчитаны кривые потенц. энергии 24 двукратно возбужденных автоионизационных состояний H_2 . Остовные орбитали большинства изученных состояний соответствуют нижним $^2\Sigma_u^+$ и $^2\Pi_u$ -состояниям H_2^+ . Полученные кривые могут быть использованы при интерпретации результатов экспериментов по возбуждению H_2 электронным ударом.

А. В. Зайцевский



оп. 1983, 18, N5

H_2

1982

9 Б36. Дважды возбужденные автоионизационные состояния молекулы H_2 . The doubly excited autoionizing states of H_2 . Gubergt~~s~~an Steven L. «Int. J. Quantum Chem.», 1982, Quantum Chem. Symp. N16: Proc. Int. Symp. Quantum Chem., Theory Condens. Matter, and Propag. Meth. Quantum Theory Matter, Flagler Beach, Fla, March 1—3, 7—13, 1982, 668 (англ.)

Краткое сообщение о расчете 24 возбужденных автоионизац. состояний молекулы H_2 , представляющих интерес для интерпретации энергетич. данных по фотовозбуждению и возбуждению электронным ударом.

В. И. Пупышев

X. 1983, 19, N 9

H_2

1982

20 Б68. Адаптация потенциала: о применении потенциала Морзе вместо полиномиального потенциала осциллятора для решения задачи на собственные значения линейным вариационным методом. Gustav K., Gelditz R. Potentialadaption: Zur Verwendung des Morse-Potentials anstelle eines polynomischen Oszillatortopotentials beim Eigenwertproblem im Rahmen des linearen Variationsverfahrens. «Z. Chem.», 1982, 22, № 3, 115—116 (нем.)

Для нахождения колебательных уровней энергии двухатомных молекул предложено аппроксимировать потенциальную кривую кривой Морзе и решать соответствующее ур-ние Шредингера в базисе собственных ф-ций гармонич. осциллятора. Получены явные выражения для необходимых матричных элементов. Метод применен к вычислению колебательных уровней энергии в основном электронном состоянии молекул H_2 и HCl . Полученные результаты сопоставлены с результатами расчета др. методами и с эксперим. данными:

В. Б. Павлов-Веревкин

лб. № №.
расчет



Х.1982, 19, № 20

H_2

1982

5 Б26. Модель боровских орбит и рюденберговская теория происхождения энергии связывания для H_2 . Bohr orbit model and ruedenberg's theory of the origin of the binding energy for H_2 . Нагсорт Richard D., Соломон Helen, Beckworth John, Chislett Leigh. «Amer. J. Phys.», 1982, 50, № 6, 557—559 (англ.)

Молекулы H_2 и H_2^+ рассмотрены с помощью модели, в рамках к-кой электрону отвечает круговая орбита, в плоскости, перпендикулярной оси молекулы. Параметры модели — радиус и смещение орбиты относительно центра симметрии молекулы определены из условия экстремума энергии. Отмечено, что такая простая модель позволяет качественно правильно описать равновесную геометрию и энергию диссоциации и подтвердить взаимообусловленность хим. связывания и понижения кинетич. энергии при образовании молекулы. Для H_2 рассмотрена также модель разных орбит для разных электронов.

В. И. Пупышев



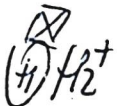
X. 1983, 19, N5

H_2

1982

12 Д148. Орбитальная модель Бора и теория Рюденберга о природе энергии связи в молекуле H_2 . Bohr orbit model and Ruedenberg's theory of the origin of the binding energy for H_2 . Harcourt Richard D., Solomon Helen, Beckworth John, Chislett Leigh. «Amer. J. Phys.», 1982, 50, № 6, 557—559 (англ.)

Для вычисления энергии E молекулы H_2 предлагается вместо решения ур-ния Шрёдингера использовать модель Бора, в которой два электрона движутся по одной и той же орбите радиуса $r(1)$ и по двум орбитам, центры которых находятся на расстояниях $r \operatorname{ctg} \theta$ (2); θ — угол между радиусом вектором проведенным от ядра к электрону, и линией ядер. В моделях (1) и (2) плоскости орбит перпендикулярны этой линии, а энергии определяются ф-лами (в ат. ед.):



Ф. 1982, 18, N 12

$$E = 1/r^2 - 4/(r^2 + R^2/4)^{1/2} + 1/2r + 1/R \quad (1) \text{ и}$$

$$E = 1/r^2 - 2/[r^2/\sin^2 \theta + R^2 - 2rR \operatorname{ctg} \theta]^{1/2} - 2 \sin \theta/r +$$

$$+ [r^2/\sin^2 \theta + R^2/2 - rR \operatorname{ctg} \theta]^{1/2}/2 + 1/R \quad (2).$$

Из (1) и условий равенства нулю производных от E по R (R — расстояние между ядрами) и r следует, что $R_e = 0,5825 \text{ \AA}$; $r = 0,5044 \text{ \AA}$ и $D_e = 2,734 \text{ эВ}$. По (2) минимум энергии достигается при совпадении обеих орбит и при тех же R_e , r , D_e . Точные значения R_e и D равны $0,741 \text{ \AA}$ и $7,747 \text{ эВ}$. Применение орбитальной модели Бора к H_2^+ приводит к выводу о нестабильности этого иона.

М. А. Ковнер

H₂

1982

97: 79222h Bohr orbit model and Ruedenberg's theory of the origin of the binding energy for molecular hydrogen.
Harcourt, Richard D.; Solomon, Helen; Beckworth, John;
Chislett, Leigh (Dep. Phys. Chem., Univ. Melbourne, Parkville,
3052 Australia). *Am. J. Phys.* 1982, 50(6), 557-9 (Eng).
By using the electron-particle orbit models of N. Bohr (1913) for
the H atom and the H₂ mol., the dissocn. energy of H₂ was
shown to result essentially from a large decrease of the kinetic
energy when the 2 electrons are moved into the bond region, in
agreement with the kinetic-energy-depression theory of K.
Ruedenberg (1962, 1975).

(D)
No,
meop pacres

C.A. 1982, 97, N10

H_2

(обзор)

Журналом
и теор. исследованием
спектров

Он. 19215 1982

10 Б1161. Молекулярный водород в лаборатории и пространстве. Molecular hydrogen in the laboratory and in space. Herzberg Gerhard. «Trans. Roy. Soc. Can.», 1982, 20, 151—178 (англ.)

Обзор. Посвящен результатам эксперим. и теор. исследований спектров и нек-рых энергетич. св-в молек. водорода (H_2 , HD , D_2 , H_3 , H_3^+ , D_3 , D_3^+) за последние 15 лет. Рассмотрен вопрос определения по электронным и колебательным спектрам молек. водорода в атмосфере планет, звезд и в межзвездном пространстве. Библ. 70.

В. М. Ковба

(fb)



X. 1984, 19, N10

H_2

(Om. 17585)

1982

6 Д425. Состояния молекул H_2 и D_2 с высоким орбитальным угловым моментом. High orbital angular momentum states in H_2 and D_2 . Herzberg G., Jungen Ch. «J. Chem. Phys.», 1982, 77, № 12, 5876—5884 (англ.)

В ИК-эмиссионном спектре молекул H_2 и D_2 , возбужденных в полом катоде, охлаждаемом жидким азотом, обнаружены две серии линий в области 2500—5700 см^{-1} . Первая серия вблизи 2500 см^{-1} отнесена к вращательной структуре ридберговского комплекса переходов $5g-4f$, а вторая серия вблизи 5500 см^{-1} — к вращательной структуре переходов $4f-3d$. Анализ спектров выполнен на основании расчета частот и интенсивностей линий в рамках модели, учитывающей поляризацию и квадрупольный момент ионного остова H_2 , а также взаимодействие ридберговского электрона с вращением и колебанием остова H_2 . Идентифицированы линии R - и Q -ветвей с $f < 10$ и $v \leq 5$ ($\Delta v = 0$)

спектр,

м.н;

④

Ф. 1983, 18, № 6

системы $5g-4f$. Показано, что вследствие полного разрыва связи электронного орбитального момента с осью молекулы структура этой системы сильно отличается от структуры обычных систем полос. Более 200 линий системы $4f-3d$ не идентифицировано. Малые ширины линий свидетельствуют об отсутствии предиссоциации и преонизации ридберговских состояний H_2 с $n \leq 5$ в мксек масштабе времени. М. Р. Алиев



H_2

Om. 17585 1982

98: 43359q High orbital angular momentum states in diatomic hydrogen and diatomic deuterium. Herzberg, G.; Jungen, C. (Natl. Res. Coun. Canada, Ottawa, ON Can. K1A 0R6). *J. Chem. Phys.*, 1982, 77(12), 5876-84 (Eng). A characteristic group of lines obsd. in the IR emission spectrum of H_2 was identified as representing the transitions between the 5g and the 4f group of levels. Because of nearly complete uncoupling of l from the mol. axis, the appearance of this group of lines is very different from a normal band spectrum. An anal. was possible on the basis of ab initio computations of the spectrum using the knowledge of the vibrational levels, quadrupole moment, and the polarizability of the H_2^+ core. The validity of the assignments was further corroborated by agreement of the predicted spectra of D_2 with the obsd. spectra. In addn., similar transitions corresponding to 4f-3d were obsd.

Crekns UK

\oplus D_2

C.A. 1983, 98, N6.

H₂

Om. 17585

1982

} 11 Б186. Состояния с высокими орбитальными угловыми моментами в H₂ и D₂. High orbital angular momentum states in H₂ and D₂. Herzberg G., Jungen Ch. «J. Chem. Phys.», 1982, 77, № 12, 5876—5884 (англ.)

ИК-спектры испускания (СИ) молекул H₂ и D₂, полученные при разряде в полом катоде, исследованы при высоком разрешении в области 2500 см⁻¹; кроме того наблюдены спектры испускания H₂ в области 5700 см⁻¹. Анализ спектров выполнен на основе неэмпирич. расчетов спектров с использованием известных величин колебательных уровней энергии, квадрупольного момента и поляризуемости остова H₂⁺. Наблюденные группы линий H₂ при 2500 см⁻¹ отнесены к переходам между 5g и 4f группами уровней. Вследствие почти полной несвязанности орбитального момента l с молек. осью, вызванной доминирующим влиянием молек. вращения, структура этой группы линий отличается от нормального полосатого спектра. Вычислены относит. интенсив-

спектр, М.П.

(H)
D₂

X. 1983, 19, N 11

ности и силы осцилляторов линий H_2 . Радиац. время жизни водородного $5g$ уровня оценено 0,24 мкс и соотв-щее время жизни молек. состояния не ожидается короче. Из анализа $5g-4f$ групп линий в спектрах следует, что $5g$ уровни стабильны по отношению к преддиссоциации и предионизации. Спектр испускания H_2 при 5770 см^{-1} отнесен к $4f-3d$ переходам между молек. уровнями с высокими Ридберговскими уровнями и с высокими значениями l .

В. М. Михайлов



H_2

1982

ЗД216. Расчет эффективного сечения возбуждения

$H_2(X^1\Sigma_g^+ \rightarrow b^3\Sigma_u^+)$ в комбинированном методе сильной связи и R -матрицы. Excitation cross sections of the $H_2(X^1\Sigma_g^+ \rightarrow b^3\Sigma_u^+)$ by the combined close-coupling — R -matrix method. Holley Thomas K., Chung Sung-gi, Lin Chun C., Lee Edward T. P. «Phys. Rev. A: Gen. Phys.», 1982, 26, № 4, 1852—1857 (англ.)

Предложен приближенный метод для расчета сечения возбуждения $H_2(X^1\Sigma_g^+ \rightarrow b^3\Sigma_u^+)$ электронным ударом в области низких энергий. Обменное взаимодействие учитывалось в методе R -матрицы внутри сферы радиуса a , причем в качестве базисных ф-ций использовались ф-ции, получаемые приближенным методом сильной связи. Решение на сфере $r=a$ использовалось в качестве граничного условия для интегрирования ур-ний рассеяния при $r>a$ по методу сильной связи,

расчет
сечения
возбуждения

ср. 1983, 18, № 3

причем обменное взаимодействие в этой области не учитывалось. Сравнение с расчетами по методу сильной связи в полной постановке дает согласие в пределах 5%, в то время как при учете шести каналов и 2—3 базисных волн. ф-ций на канал в методе R -матрицы затраты машинного времени сокращаются в 5 раз.

А. Н. Звеев

H₂

ОМ · 32319

1982

} 23 б/8. Влияние электронной корреляции на теоретические колебательные частоты. Hout Robert F., Levi Beverly A., Jr., Hehge Waggen J. Effect of electron correlation on theoretical vibrational frequencies. «J. Comput. Chem.», 1982, 3, № 2, 234—250 (англ.)

Для молекул H_2 , LiH , BH , FH , Li_2 , LiF , BeO , BF , CO , N_2 , F_2 , BH_3 , CH_4 , NH_3 , H_2O , LiOH , B_2H_6 , HBNN , HBO , C_2H_2 , C_2H_4 , C_2H_6 , HCN , CHNC , CH_2NH , CH_3NH_2 , H_2CO , CH_3OH , HCF , CH_3F , транс- N_2H_2 , N_2H_4 , HNO , транс- NH_2OH , H_2O_2 , HOF проведен расчет колебательных частот по двум неэмпирически найденным силовым полям. Одно из них получено с помощью метода Хартри — Фока в базисе из сгруппированных гауссовых ф-ций 6—31 ГФ*. Другое найдено в результате последующего частичного учета электронной корреляции по теории возмущений Мёллера — Плессета 2-го порядка. Найдено, что частоты, рассчитанные методом Хартри — Фока, в среднем на 12,6% выше экспериментальных. Частоты, полученные методом Мёллера — Плессета, отличаются от эксперим. на 7,3%. Найден-

расчет ν_i

f35

X, 1982, 19, № 23

ные частоты использованы для расчета абс. молек.
энтропий и энтропий отдельных реакций.

Б. И. Жилинский

ан.
класс

1982

H_2

) 6 Д44. Оптимизация геометрии в неэмпирических расчетах методом ССП. VII. Значения спротивы к протону и строение ионов, рассчитанные при помощи оптимизации геометрии с плавающими орбиталами (ОГПО). Geometry optimization in ab initio SCF calculations. VII: Proton affinities and ion structures calculated with floating orbital geometry optimization (FOGO). Huber Hanspeter, Vogt Jürgen. «Chem. Phys.», 1982, 64, № 3, 393—411 (англ.)

Ан+, целик,
Структура

Методом ССП рассчитаны значения спротивы к протону для молекул H_2 , HF , NH_3 , H_2O , CH_3OH , C_2H_5OH , H_2O_2 , CH_2O , CO и CH_2CO , а также равновесные геометрич. параметры, дипольные и квадрупольные мо-

(79) 87

9.1982, 18, №

HF , NH_3 , H_2O , CH_3OH ,
 C_2H_5OH , H_2O_2 , CH_2O ,
 CO , CH_2CO

менты соответствующих протонированных молекул. В расчетах использовался базисный набор сжатых гауссовых орбиталей ($4s/2s$ для атома Н и $7s3p/4s2p$ для остальных атомов). Все орбитали атомов Н и наиболее диффузные p -орбитали считались плавающими и положение их центров оптимизировалось параллельно с оптимизацией ядерной конфигурации при определении равновесной геометрии. Приведено подробное сопоставление результатов с эксперим. данными. Сравнение с имеющимися в литературе расчетами показало, что использование метода ОГПО позволяет ограничивать базисный набор без заметного снижения точности результатов.

А. В. Зайцевский

H_2

1982

Müller - Walchli Peter,
et al.

KAPC
снеквіп
в сверхжизн.
енерг. J. Chem. Phys. 1982,
76 (1), 273-284.



(cес. N_2 ; 111)

H_2

1982

12 Б69. Оптимизация геометрии в неэмпирических расчетах методом ССП. 7. Расчеты сродства к протону и структуры ионов методом оптимизации геометрий с плавающими орбиталями (ОГПО). Huber Hans Peter, Vogt Jürgen. Geometry optimization in ab initio SCF calculations. VII. Proton affinities and ion structures calculated with floating orbital geometry optimization (FOGO). «Chem. Phys.», 1982, 64, № 3, 399—411 (англ.)

Геометр,
структур,
 A^*
 AH^+



Неэмпирическим методом ССП МО ЛКАО в варианте ОГПО («Theoret. Chim. Acta», 1980, 55, 117) рассчитаны H_2 , HF, NH_3 , H_2O , CH_3OH , C_2H_5OH , H_2O_2 , CH_2O , CO , $CH_2=C=O$ и их протонированные формы. Оптимизированные геометрии нейтр. молекул и значения сродства к протону, вычисленные с учетом эмпирич. поправок на энергию нулевых колебаний (6—9 ккал/моль), хорошо согласуются с экспериментом.

В. Фаустов

X. 1982, 19, N 12

H₂

Ommweek 14095 1982

' 97: 14210h Laboratory measurements of the pure rotation S(2) and S(3) transitions in diatomic hydrogen. Jennings, D. E.; Brault, J. W. (Goddard Space Flight Cent., NASA, Greenbelt, MD 20771 USA). *Astrophys. J.* 1982, 256(1, Pt. 2), L29-L31 (Eng). Frequencies and transition rates were measured for S(2) and S(3) in the pure rotation ground-state spectrum of H₂. For S(2) the detd. frequency, $814.4250 \pm 0.0005 \text{ cm}^{-1}$, is 0.027 cm⁻¹ lower than the value used by S. C. Beck et al. (1979) in their detection of this line in the Orion mol. cloud. The S(3) frequency is $1034.67035 \pm 0.00010 \text{ cm}^{-1}$. Transition probabilities measured for S(2) and S(3) are $3.1 \pm 0.4 \times 10^{-9} \text{ s}^{-1}$ and $9.9 \pm 0.5 \times 10^{-9} \text{ s}^{-1}$, resp.

renero spa -
usam · check

C.A. 1982, 97, N².

H_2

Ummuck 15882
D.M. 16060

1982

Johri G.K., Rishishwar R.P.,

Квазипонен
ционер

Indian. J. Pure and
Appl. Phys., 1982, 20, N6

506-507.

1982

H₂

1 Б133. Вращательно разрешённая фотоэлектронная спектроскопия н-H₂, п-H₂, HD и D₂. Rotationally resolved photoelectron spectroscopy of n-H₂, p-H₂, HD, and D₂. Jollard J. E., Trevorg D. J., Reutt J. E., Lee Y. T., Shirley D. A. «J. Chem. Phys.», 1982, 77, № 1, 34—46 (англ.)

H₂

С использованием сверхзвукового источника молекул пучков измерены (разрешение 11 мэВ) фотоэлектронные спектры (He 1α; 584 Å) н-H₂, п-H₂, HD, D₂. Для варьирования относит. интенсивности вращательных переходов за счет изменения распределения молекул по вращательным состояниям, спектры измерялись при различных т-рах потока и давлениях газа. Получены след. значения (в см⁻¹) молек. постоянных ω_c , ω_{ex_e} , ω_{ey_e} , ω_{ez_e} , B_e , α_e , D_0^0 (энергия диссоциации) и r_e (в Å) для основного состояния ионов ($X^2\Sigma_g^+$): H₂⁺ —2324,4; 67,84; 1,000; —0,0308, 21375, 29,99; 1,388;

X. 1983, 19, N1.

1,056; HD⁺ —2014,6; 51,42; 0,687; —0,0181; 21515;
23,03; 0,901; 1,044; D₂⁺ —1646,4; 34,07; 0,354;
—0,0077; 21687; 14,89; 0,471. 1,060. Приведены экспе-
рим. значения $\Delta G_{v+1/2}$ и сечения photoионизации для
переходов H₂⁺ ($X^2\Sigma_g^+$, $v'=0-17$) — H₂ ($X^1\Sigma_g^+$, $v''=0$),
HD⁺ (X , $v'=0-20$) — HD (X , $v''=0$), D₂⁺ (X , $v=$
=0-23) — D₂ (X , $v''=0$), вращательные молек. по-
стоянные B_v для H₂⁺ ($v_x=0-15$), HD⁺ ($v_x=0-18$) и
 D_2^{+} ($v_x=0-19$), а также D_v' для H₂⁺ ($v_x=0-10$).

Б. М. Ковба

анн.

1982

H₂

10 Б21. Исследование водорода в никеле с помощью метода кластеров в конденсированном веществе. Cluster in condensed matter method study of hydrogen in nickel. Keller Jaime, Castro Miguel, de Paoli Angel Luis. «J. Appl. Phys.», 1982, 53, № 12, 8850—8855 (англ.)

В рамках метода многократного рассеяния с использованием моделей молек. кластера и кластера, «погруженного» в конденс. в-во, рассчитано электронное строение атома H в октаэдрич. окружении атомов Ni, моделирующем кристалл ферромагнитного Ni. При построении кластерного потенциала использовалось спин-неограниченное $X_{\alpha\beta}$ -приближение. Связь между водородом и никелем исследовалась на примере молекул $\underline{H_2}$, $\underline{Ni_2}$ и $\underline{H_2Ni_2}$. Для кластера $\underline{Ni_6-H}$ вычислены приближенное значение энергии поглощения H в никеле, частота колебания атома H, магнитный момент кластера, а также изменения локальной парамагнитной восприимчивости и сверхтонкого поля на ядре H и в

ионизация
структуре

(18)

(13)

X. 1983, 19, N 10

H₂ Dm. 16287 1982

Kello V.,

Культура
ромашки-
жасмина,
стеклянок.
ЛОСИЯНКА

Chem. Zvesti 1982, 36(3)
289 - 299.

H_2

1982

Kere K.

Оценка
химической
активности —
иерархия

Ber. Bunsenges. Phys.
Chem., 1982, 86, N 9,
812-820.

(cис. He; Γ)

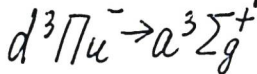
H₂

(Om. 24988) 1982

196: 207535f Probabilities of $d^3\Pi_u^- \rightarrow a^3\Sigma_g^+$ radiational transitions of the hydrogen molecule. Kirbyat'eva, T. V.; Lavrov, B. P.; Ostrovskii, V. N.; Tyutchev, M. V.; Ustimov, V.

I. (USSR). *Opt. Spektrosk.* 1982, 52(1), 39-46 (Russ). The measured relative transition probabilities in the v'' progression of bands of the α Fulcher system show the correct application of the Franck-Condon approxn. to $d^3\Pi_u^- \rightarrow a^3\Sigma_g^+$ transition; data of H₂ and permitted the semiempirical detn. of all probabilities of the $d^3\Pi_u^-, v', N' \rightarrow a^3\Sigma_g^+, v'', N'$ radiative transitions.

fnn



C. A. 1982, 96, N 24.

H_2

Оп. 24988

1982

9 Б1269. Вероятности радиационных $d^3P_n \rightarrow a^3\Sigma_g^+$ -переходов молекулы водорода. Кирбяева Т. В., Лавров Б. И., Островский В. Н., Тютчев М. В., Устимов В. И. «Оптика и спектроскопия», 1982, 52, № 1, 39—46

Измерения относит. вероятностей переходов в v' -прогрессиях полос α -системы Фулхера показали не-применимость приближения Франка—Кондона к $d^3P_n \rightarrow a^3\Sigma_g^+$ -переходу молекулы H_2 и позволили полу-эмпирически определить всю совокупность вероятностей $d^3P_u \rightarrow a^3\Sigma_g^+$, v'', N' радиац. переходов.

Резюме

спектр,
вероятн.
переходов

X - 1982, 19, № 9.

H_2

1982

1 Д259. Неупругое рассеяние электронов высокой энергии молекулами водорода. Ч. I. $X-B$ - и $X-E$ -переходы. Inelastic high-energy electron scattering from a hydrogen molecule. I. $X-B$ and $X-E$ transitions. Kołos Włodzimierz, Monkhorst Hendrik J., Szalewicz Krzysztof. «J. Chem. Phys.», 1982, № 3, 1335—1344 (англ.)

В первом борновском приближении проведены расчеты обобщенных сил осцилляторов для неупругого рассеяния быстрых электронов молекулами H_2 . Обсуждается возбуждение как оптически разрешенных — $B^1\Sigma_u^+$, так и оптически запрещенных — $E^1\Sigma_g^+$ состояний молекулы H_2 , первоначально находящейся в основном состоянии — $X^1\Sigma_g^+$. Для описания электронных состояний H_2 используются точные волни. ф-ции, представляемые в виде разложений по коррелированному гауссовскому базису. Анализируется зависимость форм-факторов переходов от ориентации молекулы, величи-

$X-B$ и $X-E$ -
переходы

ср. 1983, 18, N 1

ны передаваемого момента и межъядерного расстояния. Сравнение полученных результатов с расчетами, выполненными с учетом приближения Франка—Кондона, показывает правомерность использования последнего во всех рассматриваемых случаях. Отмечается, что борновские обобщенные силы осцилляторов для оптически разрешенных переходов в области малых передаваемых импульсов очень близки к их точным значениям, которые были получены с волн. ф-циями,енным образом включающими различные степени межэлектронного расстояния в молекуле.

В. С.



H_2

Lm. 16237

1982

14 Б182. Лабораторные наблюдения индуцированного столкновениями испускания в области фундаментальной колебательно-вращательной полосы H_2 . Laboratory observations of collision-induced emission in the fundamental vibration-rotation band of H_2 . Krech R., Caledonia G., Schertzer S., Ritter K., Wilkerson T., Cotnoir L., Taylor R. «Phys. Rev. Lett.», 1982, 49, № 26, 1913—1916 (англ.)

Измерены спектры индуцированного столкновениями испускания H_2 в области основной колебательной полосы (2,4 мкм) в смесях H_2/Ar (10 или 20% H_2), нагретых до 1000—3000 К и сжатых до 49 атмосфер в ударной трубе. Предположено, что наблюданное испускание обусловлено, главным образом, взаимодействием H_2-Ar с малым вкладом взаимодействия H_2-H_2 . В спектре обнаружено также фоновое испускание, присущее и в чистом аргоне, природа к-рого не выяснена. Установлено, что интенсивность испускания H_2 зависит от квадрата плотности газа, что подтверждает столкновительный характер испускания. Проанализирован контур

спектра

X. 1983, 19, N 14

наблюдаемой Q-ветви H_2 и рассчитаны приведенные силы полос для смеси 20% H_2 и 80% Ag в интервале 273—3000 К. Отмечено, что форма контура является почти симметричной, что может быть связано с вкладом полосы $v=2 \leftarrow v=1$. Полуширина полосы испускания H_2 составляет $\sim 0,5$ мкм, что хорошо согласуется с теор. выводами. В ряде случаев абрс. интенсивности испускания измерены с помощью интегрирующего радиометра и получено хорошее согласие с данными спектров с волновым разрешением. Показано, что интенсивность ИК-испускаия остается постоянной во время эксперимента в ударной трубе, что указывает на стационарность условий.

С. Б. Осин



H_2

Om. 16237

1982

9 Д452. Лабораторное наблюдение индуцированного столкновениями испускания в области основной колебательно-вращательной полосы H_2 . Laboratory observations of collision-induced emission in the fundamental vibration-rotation band of H_2 . Kregel R., Caledonia G., Schertzer S., Ritter K., Wilkerson T., Cotnoir L., Taylor R., Вігпbaum G. «Phys. Rev. Lett.», 1982, 49, № 26, 1913—1916 (англ.)

спектр,
м.н;

Получены спектры ИК-испускаия газообразного водорода в смеси с аргоном при т-рах 1000—3000 К и плотностях до 50 амага, создающихся в ударной волне. Для регистрации спектров использована ударная труба диаметром 16 см и скоростной спектрометр, обеспечивающий запись интервала 3700—4800 см^{-1} за 300 мкс с разрешением $\sim 100 \text{ см}^{-1}$. Наблюдана широкая полоса с максимумом $\sim 4170 \text{ см}^{-1}$, отнесенная к колебательному переходу 1→0, индуцированному столк-

го. 1983, 18, № 9

новениями молекул. Главную роль в формировании этой полосы играет колебательно-вращательная ветвь Q. Симметрическая форма полосы, не согласующаяся с теоретич. предсказаниями, объяснена наложением полосы горячего перехода $2 \rightarrow 1$ на НЧ-крыло. Измерена абс. интенсивность спектра, эта величина использована для определения интегр. коэф. поглощения. При повышении темп-ры коэф. поглощения возрастает как T^n , где $1 < n < 3/2$, что не согласуется с теоретич. расчетами.

М. В. Т.

Библ. 18.

H₂

1982

Kon-fraugat
Chetmp

96: 225634s Some characteristics of the shape of the lines of the vibrational-rotational spectrum of hydrogen and deuterium in solutions. Kouzov, A. P.; Orlova, N. D.; Pozdnyakova, L. A. (USSR). *Opt. Spektrosk.* 1982, 52(4), 651-6 (Russ). The contours of vibrational-rotational lines in the Raman spectra of H₂ and D₂ dissolved in liq. Ar and SF₆ were studied at temp. of 90-140 and 230-313 K resp. For the 1st time O₁ and S₁ lines were obsd. which correspond to transitions with equal changes of rotational energy that have different widths. This effect was successfully explained in the frame of Fano theory during combined taking into account of vibrational-rotational interaction and modulation of the anisotropic component of the internal potential by vibration of action mols.

(H)



D₂

C. A. 1982, 96, N 26.

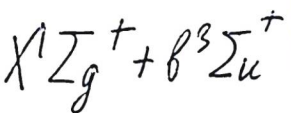
H_2

1982

23 Б28. Почему метод двухатомных фрагментов в молекулах оказывается неудовлетворительным для H_4 ? Kuntz Philip J., Chang Christian C. Why does the diatomics-in-molecules method appear to fail for H_4 ? «J. Phys. Chem.», 1982, 86, № 7, 1212—1213 (англ.)

Состояния $X^+ 1\Sigma_g$ и $b^+ 3\Sigma_u$ -молекулы H_2 , определенные с расширенным базисом в рамках метода валентных связей, проектируются при различных межъядерных расстояниях на ф-ции асимптотич. базисных наборов метода двухатомных фрагментов в молекулах для плоской системы H_4 . Показано, что для удовлетворительного описания терма тройного состояния H_2 на малых расстояниях базис метода двухатомных фрагментов в молекулах должен включать состояние $H(^2P)$. С неполной базиса метода двухатомных фрагментов в молекулах связывается таким образом тот факт, что рассчитанная с его помощью энергия основного электронного состояния H_4 существенно ниже энергии, определенной в неэмпирич. расчетах.

А. И. Маергойз



X. 1982, 19, N23

— первые основные соч.

H_2

Оттиск 15539

1982

2 Д98. Теоретическое изучение констант спин-орбитального взаимодействия состояний $c(2p)^3\Pi_u$, $d(3p)^3\Pi_u$, $k(4p)^3\Pi_u$, $i(3d)^3\Pi_g$, $r(4d)^3\Pi_g$, $j(3d)^3\Delta_g$ и $(4f)^3\Delta_u$ молекулы H_2 . Theoretical study of the spin-orbit coupling constants of the $c(2p)^3\Pi_u$, $d(3p)^3\Pi_u$, $k(4p)^3\Pi_u$, $i(3d)^3\Pi_g$, $r(4d)^3\Pi_g$, $j(3d)^3\Delta_g$, and $(4f)^3\Delta_u$ states of H_2 . Langhoff Stephen R., Huo Winifred M., Partridge Harry, Bauschlicher Charles W., Jr. «J. Chem. Phys.», 1982, 77, № 5, 2498—2513 (англ.)

Методом полного конфигурац. взаимодействия с использованием обширных базисов орбиталей слэтеровского типа рассчитаны волн. ф-ции и константы спин-орбитального взаимодействия (КСОВ) для ридберговой серии состояний H_2 , сходящейся к основному состоянию H_2^+ . Проведена тщательная оптимизация базиса для состояния $c^3\Pi_u$; показана необходимость включения б- и ф-АО в базис при определении КСОВ. Усредненные по колебательным состояниям значения КСОВ отличаются от экспериментальных на 4—6% для

Радченко М.-Л.

90. 1983, 18, № 2

состояний $c^3\Pi_u$ и $d^3\Pi_u$, на 30% для $k^3\Pi_u$; для $i^3\Pi_g$ и $j^3\Delta_g$ это различие не превышает эксперим. ошибок. Все КСОВ состояний $r(4d)^3\Pi_g$ и $(4f)^3\Delta_u$ и высоких колебательных возбуждений прочих состояний получены впервые. Предполагается, что неточности в определении КСОВ $k^3\Pi_u$ могут быть устранены путем переоптимизации базиса.

А. В. Зайцевский

авт
пот

Оттиск 15839

1982

H₂

4 Б19. Теоретическое изучение констант спин-орбитального взаимодействия для состояний $c(2p)^3\Pi_u$, $d(3p)^3\Pi_u$, $k(4p)^3\Pi_u$, $i(3d)^3\Pi_g$, $r(4d)^3\Pi_g$, $j(3d)^3\Delta_g$ и $(4f)^3\Delta_u$ молекулы H₂. Theoretical study of the spin-orbit coupling constants of the $c(2p)^3\Pi_u$, $d(3p)^3\Pi_u$, $k(4p)^3\Pi_u$, $i(3d)^3\Pi_g$, $r(4d)^3\Pi_g$, $j(3d)^3\Delta_g$, and $(4f)^3\Delta_u$ states of H₂. Langhoff Stephen R., Huo Winifred M., Partridge Harrig, Bauschlicher Charles W., Уг. «J. Chem. Phys.», 1982, 77, №. 5, 2498—2513 (англ.)

Методом полного учета конфигурац. взаимодействия в базисе орбиталей слейтеровского типа изучена зависимость констант спин-орбитального взаимодействия от межъядерного расстояния для состояний $c(2p)^3\Pi_u$, $d(3d)^3\Pi_u$, $k(4p)^3\Pi_u$, $i(3d)^3\Pi_g$, $r(4d)^3\Pi_g$, $j(3d)^3\Delta_g$ и $(4f)^3\Delta_u$ молекулы H₂. При расчете состояний типа $^3\Pi$ использован базис $14\sigma\overline{14}\pi\overline{8}\delta\overline{2}\phi$, оптимизированный для состояния $c^3\Pi_u$, а при расчете состояний типа $^3\Delta$ — базис $14\sigma\overline{12}\pi\overline{8}\delta\overline{2}\phi$, оптимизированный для состояния $j^3\Delta_g$.

X. 1983, 19, N 4

Отмечено, что для получения надежных значений констант спин-орбитального взаимодействия использование б- и ф-ф-ций является существенным. Полученные результаты использованы для вычисления констант спин-орбитального взаимодействия, усредненных с соответствующими колебательными волновыми функциями. Результаты расчетов сопоставлены с имеющимися экспериментальными результатами.

В. Б. Павлов-Веревкин

H₂ October 15539 1982

97: 171458n Theoretic study of the spin-orbit coupling constants of the c(2p)³Π_u, d(3p)³Π_u, k(4p)³Π_u, i(3d)³Π_g, r(4d)³Π_g, j(3d)³Δ_g, and (4f)³Δ_u states of diatomic hydrogen. Langhoff, Stephen R.; Huo, Winifred M.; Partridge, Harry; Bauschlicher,

neopm.
racem

CHER-OPWJ.

racers

bosyres.

cochlearia

C.A. 1982, 97, N20

Charles W., Jr. (Ames Res. Cent., NASA, Moffett Field, CA 94035 USA). *J. Chem. Phys.* 1982, 77(5), 2498-513 (Eng). Theor. spin-orbit coupling consts. as a function of internuclear distance $A(R)$, are reported for the c(2p)³Π_u, d(3p)³Π_u, k(4p)³Π_u, i(3d)³Π_g, r(4d)³Π_g, j(3d)³Δ_g, and (4f)³Δ_u states of H₂. Full CI wave functions and large Slater-type basis (STO) sets were used. A 14σ14π8δ2φ basis set optimized for the c³Π_u state was used in all ³Π state calcns. and a 14σ12π8δ2φ basis set optimized for the ³j³Δ_g state was used in the ³Δ calcns. The $A(R)$ were vibrationally averaged by using theor. potentials. The resulting theor. A_v values (MHz) for the $v = 0, N = 1$ rovibrational level compare

with the exptl. values (in parenthesis) as follows: $c(2p)^3\Pi_u$: -3887.22(-3740.987); $d(3p)^3\Pi_u$: -863.85 (-814.5); $k(4p)^3\Pi_u$: -398.8 (-306.7); $i(3d)^3\Pi_g$: -144.59 (-146); $j(3d)^3\Delta_g$: -400.82 (-409). The corresponding theor. values for the $r(4d)^3\Pi_g$ and $(4f)^3\Delta_u$ states, for which no exptl. data exist, are -47.1 and -114.78 MHz, resp. These values, as well as the calcd. A , for many of the higher vibrational levels, should be useful in future exptl. work.

H_2

1982

11 Д105. Новое рассмотрение одномерной молекулы водорода. One-dimensional hydrogen molecule revisited. Lapidus I. Richard. «Amer. J. Phys.», 1982, 50, № 5, 453—456 (англ.)

Рассчитана энергия связи в модельной одномерной молекуле H_2 , потенциал взаимодействия между частицами которой имеет вид δ -функции. Расчет выполнен на основе трех различных приближенных волн. ф-ций (ВФ): ВФ H_2^+ , ВФ, построенных из симметризированных произведений ВФ атома H, и ВФ, являющихся линейной комбинацией атомных водородных орбиталей. Из указанных трех ВФ построены вариац. ВФ с использованием замены заряда ядра на эффективный заряд, определяемый из вариац. процедуры по минимуму энергии связи.

Ю. Л. Малинкевич

расчет
модели
связи

оп. 1982, 18, № 11

H₂

1982

23 Б22. Коррелированная сфероидальная волновая функция, не содержащая подгоночных параметров, для некоторых дважды возбужденных состояний H₂. Lesech C., Aubert-Frécon M. Correlated prolate-spheroidal wavefunction containing no adjustable parameters for some doubly-excited states of H₂. «J. Phys. B: Atom. and Mol. Phys.», 1982, 15, № 5; L135—L137
 (англ.)

Предложенная ранее (см. «J. Chem. Phys.», 1981, 74, 2931; 1981, 75, 2932) процедура расчета энергии двухэлектронной двухатомной системы в первом порядке теории возмущений с волновой ф-цией в сфероидальных координатах, учитывающей явно межэлектронное расстояние, применена к состояниям молекулы H₂, отвечающим возбуждениям обоих электронов: ${}^1, {}^3\Sigma_u (2\rho_{\sigma_u}, 2s_{\sigma_g})$, ${}^1, {}^3\Sigma_u (2\rho_{\sigma_u}, {}^3s_{\sigma_d})$,

*коррелированная
сфероидаль-
ная волна
ваш ф-ци*

X. 1982, 19, N23.

$^1, ^3\Sigma_u$ ($2p_{\sigma_u}$, $3d_{\sigma_g}$), $^1, ^3\Sigma_g$ ($2p_{\sigma_u}$, $^3p_{\sigma_u}$). Энергии рас-
считаны в интервале межъядерных расстояний от 1,2
до 5 ат. ед. С погрешностью $< 3\%$ найденные энергии
согласуются с известными ранее для ряда состояний.
Большинство результатов получено впервые.

А. В. Немухин

(зар)

1982

H_2

10 Д90. Не содержащие подгоночных параметров коррелированные вытянуто-сфероидальные волновые функции некоторых двукратно возбужденных состояний H_2 . Correlated prolate-spheroidal wavefunction containing no adjustable parameters for some doubly-excited states of H_2 . Lesech C., Aubert-Frécon M. «J. Phys. B: Atom. and Mol. Phys.», 1982, 15, № 5, L135—L137 (англ.)

Σ ;

Волновые ф-ции (ВФ) ряда двукратно возбужденных электронных состояний $H_2(^1, ^3\Sigma_u^+ (2s_{\sigma_g}, 2p_{\sigma_u}),$ $1, ^3\Sigma_u^+ (3s_{\sigma_g}, 2p_{\sigma_u}),$ $1, ^3\Sigma_u^+ (3d_{\sigma_g}, 2p_{\sigma_u}),$ $1, ^3\Sigma_g^+ (2p_{\sigma_u}, 3p_{\sigma_u}))$ аппроксимировались произведениями двух сомножителей. Первый сомножитель представлял собой ВФ в приближении независимых электронов, второй описывал относит. движение электронов в отсутствие ядер. Для межъядерных расстояний 1,2—5,0 а. е. рассчитаны значения энергии H_2 , соответствующие этому приближению для ВФ. Результаты, относящиеся к состояниям $^1\Sigma_u^+$, хорошо согласуются с данными точных расчетов; энергии триплетных состояний при небольших межъядерных расстояниях сильно завышены.

90. 1982, 18,
N/10.

А. В. Зайцевский

H_2

1982

23 Б152. Регистрация собственных квантовых со-

стояний молекулярного водорода с помощью трехфотонной ионизации. Marinero E. E., Rettner C. T., Zare R. N. Quantum-state-specific detection of molecular hydrogen by three-photon ionization. «Phys. Rev. Lett.», 1982, 48, № 19, 1323—1326 (англ.)

Предложен новый метод для исследования собственных квантовых состояний мол. водорода. Метод основан на двухфотонном возбуждении, при к-ром молекула переходит в $E, F^1\Sigma_g^+$ -состояние с последующей ионизацией третьим фотоном и регистрацией числа ионизованных молекул. В эксперименте использовалось излучение высших антистоксовых порядков при ВКР в водороде, к-рое возникало при накачке второй гармоникой импульсного лазера на красителе. При перестройке частоты генерации лазера зондировались двухфотонные переходы молекул.

Спектр

X. 1982, 19, N 23

лекулы на частотах 98 350—99 156, 94 995—95 264 и 90 646—91 074 см⁻¹ с квантовыми числами $v''=0$, $J''=0—3$; $v''=1$, $J''=0—3$; $v''=2$, $J''=0—4$, которым соответствовали след. комбинации высших порядков антистоксового ВКР: ЗАС+4АС, ЗАС+ЗАС, 2АС+ЗАС. Измерено распределение молекул по вращательным уровням основного состояния при давл. 100 мТорр в зависимости от темп. в диапазоне 295—750 К. Получено хорошее согласие с числами заполнения, соотв-щими Больцмановскому распределению. По мнению авторов, достигнутая в эксперименте чувствительность ($8,4 \cdot 10^6$ ионов на один импульс лазера) позволяет регистрировать собственные квантовые состояния молекул не хуже чем традиционными методами лазерной флуоресценции, КР или КАРС.

А. Т. Суходольский



H_2

1982

12 Д740. Определение точных [квантовых] состояний молекулярного водорода с помощью трехфотонной ионизации: Quantum-state-specific detection of molecular hydrogen by three-photon ionization. Магиего Е. Е., Реттнер С. Т., Заре Р. Н. «Phys. Rev. Lett.», 1982, 48, № 19, 1323—1326 (англ.)

Реализован чувствительный метод определения заселенности индивидуального колебательно-вращательного уровня (v'', J'') (I) электронного терма $E, F^1\Sigma_g^+$ молекулы H_2 . Комбинация соответствующих антистоксовых компонент излучения лазера на красителе (ЛК) с удвоением частоты обуславливала двухфотонное возбуждение I, а поглощение третьего кванта приводило к полной ионизации всех возбужденных молекул H_2 . Фотоионизационный ток регистрировался при сканировании длины волны излучения ЛК. Измеренные населенности I при различных т-рах (295—750 К) хорошо согласуются с вычисленными в предположении больцмановского распределения. Сила вращательных линий не обнаруживает практически никакой зависимости от J'' .

А. П. Зуев

определение
точных
(квантовых)
состояний

оп. 1982, 18,
N/2

H_2

Dmuck 13985

1982

March N.H., Mucci J.F.,

непрел
сбеси,
кф. меч-
пакем

Phys. Lett., 1982, A88,
N 4, 348-349.

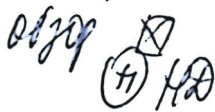
H₂

1982

98: 98021d Molecular hydrogen and hydrogen deuteride. Margolis, Jack S. (JPL, Pasadena, CA USA). NASA Conf. Publ. 1980 (Pub. 1982). NASA-CP-2223, Vibr.-Rotational Spectrosc. Planet. Atmos., N82 26135-N82 26151, 431-8 (Eng). A review with 6 refs.

Kond.-Fraus.

Creamy,



c. A. 1983, 98, N12.

1982

H₂

Mu-Tao Lee; Lucchese R.K.
McKoy V.

nonperturbative
spectrum
guccio -
lucauzzi

Phys. Rev. A 1982, 26
(6), 3240-8.

C.A. 1983, 98, N6, 40877 W

H₂

Omnuck 13987] 1982

Kb. Mex.
pacem

Ohwada K.,

J. Chem. Phys., 1982,
76, N5, 2565-2568.

H₂ Lommel 16283] 1982

Painter G.S., Averill F.W.

Heppner
Chen

Phys. Rev. B: Condens.
Matter, 1982, 26, N.Y.,
781- 790.

H₂

[Onnuck 14838] 1982

Фомошкин.
Смирнов,

♂

Pollard G.E., Tre-
vor D.Y., et al.,

J. Chem. Phys., 1982,
77, N1, 349-355.

H_2

1982

9 Б37. Квантовый метод Монте-Карло с фиксированными узлами для молекул. Fixed-node quantum Monte Carlo for molecules. Reynolds Peter J., Cererley David M., Alder Berni J., Lester William A. Jr. «J. Chem. Phys.», 1982, 77, № 11, 5593—5603 (англ.)

Дано подробное описание использования метода Монте-Карло с фиксированными узлами для решения электронного уравнения Шредингера, к-рое рассматривается как уравнение диффузии (с мнимым временем) для ф-ции $f = \Phi\psi$, где Φ — искомая волновая ф-ция, ψ — нек-рая фиксированная пробная ф-ция. Основным ограничением метода является условие, что ф-ция Φ имеет те же узловые Пв, что и ψ . Ф-ция ψ выбрана в виде детерминанта Слейтера, умноженного на произведение парных корреляц. ф-ций Джастрова. Показано, что получаемая энергия является верхней границей для точной энергии. Описанный метод использован для расчета энергий ос-

расчет δ_i ,

и. п.

(т3) \otimes

X. 1983, 19, N9

новных состояний молекул H_2 , LiH , Li_2 и H_2O . Получены энергии, близкие к точным значениям в приближении Борна—Оппенгеймера и более низкие, чем лучшие результаты расчетов методом конфигурац. взаимодействия. Время расчета одной молекулы составляло не сколько часов на ЭВМ С С-7600. А. А. Сафонов



H_2

1982

24 Б76. Корреляционная энергия как фактор, стабилизирующий молекулярную структуру. Correlation energy as a stabilizing factor in molecular structure. Robb M. A. «Mol. Struct. and Conform.» Amsterdam e. a., 1982, 156—189 (англ.)

Статья обзорного характера. Даны определения энергии корреляции (ЭК) и отдельных вкладов в нее. Указано, что ЭК может быть условно разделена на динамич. (ДЭК) и нединамич. (НДЭК) составляющие, при этом последняя в зависимости от рассматриваемого конфигурац. пространства включает в себя внутреннюю (ВЭК) и полувнутреннюю (ПВЭК) части. На примере рассмотрения энергий диссоциации, равновесных геометрич. параметров, энергетич. характеристик некоторых р-ций и структурных параметров их переходных состояний для H_2 , F_2 , He , H_2O , O_3 и $HC \equiv CH$ показано, что с хим. точки зрения в кач-ве структурной зависимой можно рассматривать лишь НДЭК, при этом особую

структурн.
параметрн

(5)

ж. 1983, № 24

роль для правильного описания потенциальных энергетич. поверхностей хим. р-ций имеет ВЭК, а ПВЭК дает основной вклад в структурные изменения ЭК. Обсуждена роль расширения базиса на внешнюю корреляц. энергию. Указано, что эта проблема может быть решена частичным учетом ВЭК и ПВЭК вкладов в многоконфигурац. подходах ССП. Библ. 40.

И. Абронин



H₂

1982

11 Д107. Колебательные искажения деформационных плотностей в двухатомных молекулах. Расчеты методом Хартри — Фока — Слэтера (ССП). Vibrational smearing of deformation densities in diatomic molecules. An application of Hartree — Fock — Slater SCF calculations. Rozendaal A., Ros P. «Acta crystallogr.», 1982, A38, № 3, 372—377 (англ.)

колебательно-усредненные плотности
распределения заряда в двухатомных молекулах H₂, BeH,
CH, CO и N₂. Во всех случаях использовались хартри-
фоковские волны ф-ции, полученные методом ССП в
трехэкспонентном базисе АО. Колебательные ядерные
ф-ции аппроксимировались разложениями по полино-
мам Эрмита. На основе полученных результатов сделан
вывод, что колебательные искажения деформационных
плотностей очень малы. Исследование влияния ангар-
моничности и термич. заселения колебательно-врача-
тельных состояний при 300 К на электронную плот-
ность указывает также на их пренебрежимо малый
вклад.

А. И. Дементьев

(4)

90.1982, 18,
N 11

H₂

1982

Schmieder R. W.

J. Opt. Soc. Amer. 72, 593 (1982)

Optical emission spectrum of
tritium gas (T₂).

H_2

1982

11 Б22. Эффективность смешанного орбитального базиса в расчетах основных состояний молекул H_2 , Li_2 и иона Li_2^+ . Сафонов А. А., Хрустов В. Ф., Степанов Н. Ф. «Вестн. МГУ. Химия», 1982, 22, № 1, 27—30

Для расчета св-в двухатомных молекул предложено использовать смешанный орбитальный базис, состоящий из слейтеровских орбиталей и двухцентровых ф-ций. На примере расчета молекул H_2 , Li_2 и иона Li_2^+ продемонстрирована высокая эффективность этого базиса.

Автодеферат

(+2)

X, 1982, 19, N 11.

1982

H₂

meopen-
pacrem

96: 149-155c Efficiency of a mixed orbital basis in calculations of ground states of hydrogen and lithium molecules and of lithium molecular ion. Safonov, A. A.; Khrustov, V. F.; Stepanov, N. F. (Mosk. Gos. Univ., Moscow, USSR). *Vestn. Mosk. Univ., Ser. 2: Khim.* 1982, 23(1), 27-30 (Russ). A mixed basis set (STO and 2-center orbitals) is proposed for the calcn. of ground state energy, E , of H₂, Li₂, and Li₂₊ by the spin-restricted SCF method. Algorithms for 2-center function generation and mol. integral calcn. are described. The calcd. E values are compared with Hartree-Fock energy limits and other calcs. The efficiency and flexibility of the mixed orbital basis is demonstrated.

(t2) A

C.A. 1982, 96, n 18.

H₂

1982

Szalewicz K., Zieliński B.
et al.

pacrin

E;

Chem. Phys. Lett., 1982,
91, N3, 169-172.

(cui. He; iii)

H_2

1982

11 Г422. Спектр молекулы H_2 в дальней УФ-области. The far UV emission spectrum of H_2 . Теггу J. L. «J. Vac. Sci. and Technol.», 1983, A1, № 2, Pt 2: Proc. 29 Nat. Symp. Amer. Vac. Soc., Baltimore, Md, 16—19 Nov., 1982, 831—836 (англ.)

Разработана детальная квантовая модель для описания возбужденных состояний $B^1\Sigma^+_u$ и $a^3\Sigma^+_g$ молекул H_2 , создаваемых тепловыми электронами с температурой $1 \text{ эВ} \leq T_e \leq 10 \text{ эВ}$ и плотностью $< 10^{15} \text{ см}^{-3}$. Изучение каждого из трех моделируемых процессов (полосы Лаймана, континuum Лаймана и континuum H_2) комбинируются с целью создания единого синтетич. спектра в дальней УФ-области. Относительная форма синтетич. спектра является функцией температуры T молекул H_2 в основном состоянии, температуры T_e возбуждающих электронов и сечения синглет-триплетного возбуждения по отношению к $B^1\Sigma^+_u$ возбуждению. Сравнение теоретич. синтетич. спектров с

Физика

φ. 1983, 18, N 11.

эксперим. спектрами от 3 разных лабораторных источников продемонстрировало их хорошее совпадение. Доказана высокая точность метода. Напр., синтетич. спектр с $T=5000$ К, $T_e=1$ эВ находится в хорошем согласии с эксперим. спектром, а расчетные спектры $T=400$ К, $T_e=1$ эВ и $T^*=6000$ К, $T_e=3$ эВ значительно отличаются от последнего. Показано, что сечение электронного возбуждения от состояния $X^1\Sigma_g^+$ до состояния $a^3\Sigma_g^+$ может быть представлено в виде $1 \cdot 10^{18} (E_{th}/E)^2$ см².
Ю. Ф. Т.

H₂

1982

2 Д55. Универсальная функция потенциальной энергии для ионных и неионных связей и вопрос химической связи. On a unified potential energy function for ionic and non-ionic bonds and the question of chemical bonding. Van Hooydonk G. «Z. Naturforsch.», 1982, A37, № 7, 710—715 (англ.)

Для 39 двухатомных ионных и неионных молекул выявлено аномальное поведение спектральных параметров α_e и $\omega_e x_e$ относительно характера связи. Показано, что с использованием универсального параметра Сатерланда, определенного как $\Delta = (\frac{1}{2}) k_e r_e^2$, аномальное поведение исчезает. Получено спектроскопич. доказательство того, что только один тип связи, а именно ионная связь, в первом приближении отвечает за спектральное поведение неионных и ионных связей двухатомных молекул, в том числе H₂.

Резюме

φ. 1983, 18, № 2

H_2

1982

97: 205051s On a universal potential energy function and the importance of ionic structures for the ground state of molecules. Van Hooydonk, G. (Cent. Bibliotheek, Rijksuniv. Gent, B-9000 Ghent, Belg.). *Z. Naturforsch.*, A 1982, 37A(9), 971-81 (Eng). The Kratzer-Fues-Vaishni-V-potential, applied to ionic dissoci. energies, yields rather accurate potential energy curves in the bonding region for H_2 , HF, LiH, Li_2 and LiF. Vibrational levels, calcd. by this ionic approxn. to the ground state of widely differing mols., nearly coincide with RKR-data. At the repulsive side of the curve and up to $2r_e$, the agreement with RKR-curves is even better than for Morse's curve, also for the 'covalent' mols. H_2 and Li_2 . Calcd. spectroscopic consts. α_e and ω_{ex} are far better than those calcd. with Morse's function. Even the existence of a max. in the potential curve at larger r -values seems not in conflict with an ionic approxn. From the universal character of the function used, it is concluded that a reasonable approxn. for the ground state of all mols. considered is one in terms of ionic structures, even for H_2 and esp. for Li_2 . According to the present results, the term 'covalent bonding' seems to be definitely superfluous, as the usually made distinction between ionic and covalent bonding is more apparent than real.

romefus.
97-III

(4)

c. A. 1982, 97, n 24

H₂

1982

Vicharelli P.A., et al.

pacuum
u.n.

Chem. Phys. Lett.,
1982, 87, N4, 369-372.



(See. Дискуссион.
уч. журн.; III)

H₂ 1982

Willinger H., Futrell
J. H., et al.

AH⁺; J. Chem. Phys., 1982,
76, NY, 3529-3534.

(see Ar; III)

1982

6 Д114. Электронные переходные моменты между возбужденными синглетными состояниями молекулы H_2 . Electronic transition moments between excited singlet states of the H_2 molecule. Wolniewicz L., Dressler K. «J. Mol. Spectrosc.», 1982, 96, № 1, 195—199 (англ.)

Вычислены дипольные моменты 12 переходов, связывающих каждое из электронных состояний $B^1\Sigma_u^+$, $B'^1\Sigma_u^+$, $B''B^1\Sigma_u^+$ и $C^1\Pi_u$ с тремя состояниями $^1\Sigma_g^+$ молекулы водорода при 17 значениях междуатомного расстояния R от 1,25 до 17 а.е. Построены кривые зависимости переходных электронных моментов от R . Матричные элементы дипольного момента вычислены с вариац. волн. ф-циями, причем для 3 интервалов значений R использовались различное число членов разложения каждой из 7 использованных волн. ф-ций. Для всех R выполнено согласование относит. фаз волн. ф-ций, влияющих на знаки вычисленных переходных моментов. При больших R наибольшее влияние на переходы $^1\Sigma_g^+ \rightarrow ^1\Sigma_u^+$ оказывает двухэлектронный резонанс зарядов в ионной конфигурации $H^+ + H^-$.

М. А. Ковнер

расчет δ_i
и.н;

оп. 1983, 18,
н 6

μ_2

1982

9 Б35. Моменты электронных переходов между возбужденными синглетными состояниями молекулы H_2 . Electronic transition moments between excited singlet states of the H_2 molecule. Wolniewicz L., Dressler K. «J. Mol. Spectrosc.», 1982, 96, № 1, 195—199 (англ.)

Рассчитаны 12 моментов переходов между состояниями $E^1\Sigma_g^+$, $GK^1\Sigma_g^+$, $HH^1\Sigma_g^+$ и состояниями $B^1\Sigma_u^+$, $B'^1\Sigma_u^+$, $B''B^1\Sigma_u^+$ и $C^1\Pi_u$ молекулы H_2 . Использованы полученные ранее Колосом, Волниевичем и Дресслером волновые функции, содержащие разложения длиной от 51 до 93 членов. Приведены табл. и графики зависимостей моментов переходов от межъядерного расстояния R в интервале $1,25 \leq R \leq 15$ ат. ед. Особое внимание уделено выбору фаз волновых функций, определяющих знаки моментов переходов, при разных R . Критерием выбора знака волновой функции являлась гладкая зави-

переходов
переходов

X. 1983, 19, N 9

симость от R ее значений при переходах от некоторых фиксированных координат электронов к другим (оба электрона на одном ядре; два электрона на разных ядрах; один электрон на ядре, другой посередине между ядрами). Показано, что при больших R моменты переходов ${}^1\Sigma_g^+ \rightarrow {}^1\Sigma_u^+$ определяются двухэлектронным зарядовым резонансом в ионной конфигурации $\text{H}^+ + \text{H}^-$.

А. А. Сафонов

H₂

1982

Cleaving
Photopellets.

196: 190057b Diatomic hydrogen fluorescence spectrum from 1200 to 1700 Å by electron impact: laboratory study and application to Jovian aurora. Yung, Yuk L.; Gladstone, G. Randall; Chang, Kar Man; Ajello, Joseph M.; Srivastava, S. K. (Div. Geol. Planet. Sci., California Inst. Technol., Pasadena, CA USA). *Astrophys. J.* 1982, 254(2, Pt. 2), L65-L69 (Eng). A combined exptl. study of the fluorescence spectrum of H₂ at wavelengths of 1200–1700 Å by electron impact and its application to modeling the Jovian aurora were carried out. The lab. data suggest that at 100 eV the relative cross sections for direct excitation of Ly α , Lyman bands ($B^1\Sigma_u^+$ – $X^1\Sigma_g^+$), and Werner bands ($C^1\pi_u$ – $X^1\Sigma_g^+$) are 1, 2.3 ± 0.6 , and 2.6 ± 0.5 , resp., in conflict with Stone and Zipf's (1972) results for the Werner bands. Cascade from E , $F^1\Sigma_g^+$ states contributes an addnl. 31% to the $B^1\Sigma_u^+$ site population. The most likely fate for the metastable H(2^2S) atoms produced in the Jovian aurora is collisional quenching to H(2^2P), and this could add as much as 60% to the predicted Ly α emission. On the basis of detailed atm. and radiative transfer modeling, the recent International UV Explorer and Voyager observations are consistent with pptn. of electrons with energy in the range of 1–30 keV or other

P.A. 1982
96, 'W22

energetic particles that penetrate to no. densities of $4 \times 10^{10} - 5 \times 10^{13}$ cm⁻³ or column densities of $5 \times 10^{17} - 2 \times 10^{20}$ cm⁻² in the atm. The globally averaged energy flux and prodn. of H atoms are 0.5-2 ergs cm⁻² s⁻¹ and 1-4 $\times 10^{10}$ atoms cm⁻² s⁻¹, resp.

1982

H_2

9 Д662. Спектр флуоресценции молекул H_2 в области 1200—1700 Å, возбуждаемый электронным ударом. Лабораторное исследование и приложение к анализу свечения атмосферы Юпитера. H_2 fluorescence spectrum from 1200 to 1700 Å by electron impact. Laboratory study and application to Jovian aurora. Yung Yuk L., Gladstone G., Randall, Chang Ка'г Ман, Ajello Joseph M., Srivastava S. K. «Astrophys. J.», 1982, 254, № 2, Part 2, 65—69 (англ.)

В области 120—170 нм получен спектр флуоресценции молекул H_2 , возбуждавшихся потоком электронов с энергией 100—400 эВ. Построен модельный спектр флуоресценции H_2 , учитывающий наличие прямого возбуждения линии L_α , полос Лаймана $B^1\Sigma_u^+ \rightarrow X^1\Sigma_g^+$ и Вернера $C^1\Pi_u \rightarrow X^1\Sigma_g^+$, а также каскадных переходов из состояний E , $F^1\Sigma_g^+$. Сечения указанных переходов взяты из литературы. Показано, что наиболее вероятной судьбой метастабильных атомов $H(2^2S)$ является тушение в столкновениях с образо-

cf. 1982, 18, N 9.

ванием $H(2^2P)$, причем этот процесс отвечает за $\sim 60\%$ излучения L_α в свечении атмосферы Юпитера. Исследование различных атмосферных процессов позволило интерпретировать данные, полученные космич. аппаратами «Эксплорер» и «Вояджер» и оценить плотность электронов с энергией 1—30 кэВ в атмосфере Юпитера: $4 \cdot 10^{10}$ — $5 \cdot 10^{13} \text{ см}^{-3}$. Рассчитаны усредненные по атмосферному столбу энергия электронов и скорость образования атомов водорода: $0,5 \div 2 \text{ эрг} \cdot \text{см}^{-2} \cdot \text{с}^{-1}$ и $(1 \div 4) \cdot 10^{10} \text{ атомов} \cdot \text{см}^{-2} \cdot \text{с}^{-1}$. Библ. 37.

М. Т.

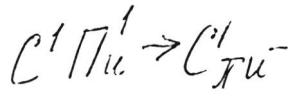


H_2

1982

197: 79211d Spontaneous E1 transition in the low Λ doublet of the $C^{1\pi_u}$ state of molecular hydrogen. Zhizhimov, O. L. (USSR). *Opt. Spektrosk.* 1982, 52(5), 918-20 (Russ). The title $C^1\pi_u^+ \rightarrow C^1\pi_u^-$ transition was studied in relation to para-ortho transition of H_2 . The probability for this state transition ($\approx 4.9 \times 10^{-16} \text{ s}^{-1}$) is by 4 orders of magnitude less than that for the ground-state $B^1\Sigma_u^+ \rightarrow X^1\Sigma_2^+$ transition ($\sim 10^{-12} \text{ s}^{-1}$).

circles)



c.a. 1982, 97, n10

H_2

1982

1 Д118. Спонтанный $E1$ -переход в низшем А-дублете состояния $C^1\Pi_u$ молекулярного водорода. Жижимов О. Л. «Оптика и спектроскопия», 1982, 52, № 5, 918—920

Исследован спонтанный $E1$ -переход в низшем А-дублете состояния $C^1\Pi_u$ молекулы водорода, относящейся к пара-ортого-переходам. Найдено, что вероятность спонтанного перехода $W(\Pi^+ \rightarrow \Pi^-) \approx 4,9 \cdot 10^{-16} \text{ с}^{-1}$. Отмечено, что ввиду близости возмущающих уровней вероятности пара-ортого-перехода в состоянии $C^1\Pi_u$ на четыре порядка больше вероятности пара-ортого-перехода в основном состоянии $X^1\Sigma_g^+$. А. И. Дементьев

спектр

9. 1983, 18, N 1